

WYNIKI CIĄGŁYCH POMIARÓW HAŁASU W ŚRODOWISKU

DLA PORTU LOTNICZEGO IM. F. CHOPINA W WARSZAWIE

Nazwa obiektu: Punkt pomiarowy nr 10 „Piaśtów”

Data wykonania pomiaru:

początek: 01 - 11 - 2020

koniec: 30 - 11 - 2020

Lokalizacja punktu pomiarowego: Piaśtów, ul. Lelewela 16/18

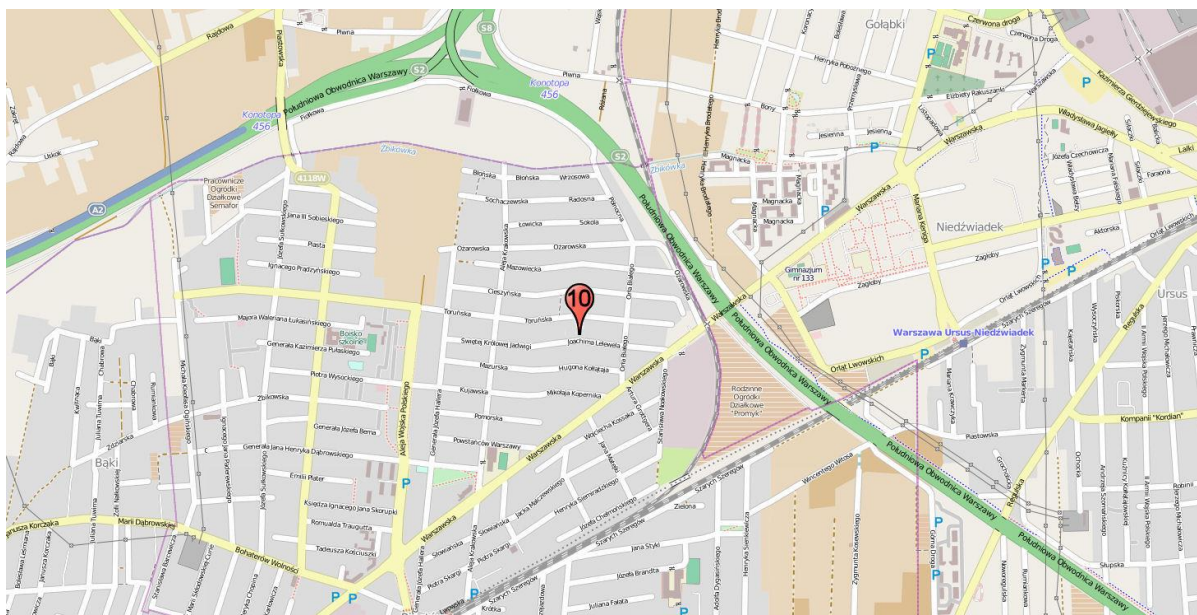
Układ współrzędnych: WGS 84

Szerokość geograficzna: N 52° 11' 29,68"

Długość geograficzna: E 20° 50' 59,07"

Względna wysokość punktu pomiarowego [m]: 10

Lokalizacja na planie:



Metoda badań:

Metoda ciągłych lub okresowych pomiarów monitoringowych: metodyka referencyjna, określona w załączniku nr 1 do rozporządzenia Ministra Środowiska z dnia 16.06.2011 w sprawie wymagań w zakresie prowadzenia pomiarów poziomów substancji lub energii w środowisku przez zarządzającego drogą, linią kolejową, linią tramwajową, lotniskiem, portem.

Metody obliczeniowe: jw.

Aparatura pomiarowa:

Analizator poziomu dźwięku (producent; nr typu): Lochard, EMU-2

Mikrofon/sonda mikrofonowa (producent; nr typu): Lochard, 41DM-2

Świadectwo uwierzytelnienia nr 1281.4-M24-4180-297/15 z dnia 08.06.2016 r. wydane przez Prezesa Głównego Urzędu Miar

Wzorzec akustyczny (producent; nr typu): Brüel & Kjær; typ 4228

Równoważny poziom dźwięku w porze dnia i w porze nocy
w odniesieniu do jednej doby, wg wskaźników L_{AeqD} i L_{AeqN}
powodowany przez starty, lądowania i przeloty statków
powietrznych

Dzień miesiąca/ Listopad 2020 r.	Równoważny poziom dźwięku	
	Pora dnia L_{AeqD} w dB	Pora nocy L_{AeqN} w dB
1	47,3	43,0
2	48,5	38,0
3	45,5	43,0
4	47,2	43,3
5	46,5	42,0
6	45,3	43,2
7	42,0	37,4
8	45,1	41,2
9	47,8	43,3
10	45,7	36,4
11	46,3	43,0
12	47,0	43,5
13	47,2	39,2
14	43,2	38,5
15	46,3	43,1
16	47,9	37,9
17	43,5	33,5
18	46,2	43,7
19	45,9	35,4
20	46,0	41,4
21	40,9	35,9
22	44,6	40,1
23	43,6	39,3
24	43,5	0,0
25	46,3	34,7
26	46,6	0,0
27	46,0	44,1
28	40,8	31,6
29	45,7	38,3
30	43,6	44,5

Zgodnie z art. 112a ustawy – Prawo ochrony środowiska oraz rozporządzeniem Ministra Środowiska z dnia 16 czerwca 2011 r. w sprawie wymagań w zakresie prowadzenia pomiarów poziomów substancji lub energii w środowisku przez zarządzającego drogą, linią kolejową, linią tramwajową, lotniskiem lub portem, do ustalania i kontroli warunków korzystania ze środowiska mają zastosowanie wskaźniki hałasu odnoszące się do jednej doby:

- L_{AeqD} – równoważny poziom dźwięku A dla pory dnia (rozumianej jako przedział czasu od godz. 6.00 do godz. 22.00),
- L_{AeqN} – równoważny poziom dźwięku A dla pory nocy (rozumianej jako przedział czasu od godz. 22.00 do godz. 6.00).

Wyznaczone wartości tych wskaźników dla poszczególnych dni i nocy w listopadzie 2020 podano w tabeli powyżej.

W tabelach poniżej podano zestawienia zdarzeń akustycznych zarejestrowanych w punkcie pomiarowym, na podstawie których wyznaczono wartości wskaźników L_{AeqD} i L_{AeqN} dla poszczególnych dni i nocy w miesiącu.

Zestawienie zdarzeń akustycznych spowodowanych przelotami statków
powietrznych w porze dnia (przedział czasu pomiędzy godz. 06.00 – 22.00)

Nr punktu pomiarowego	Data i godz. zdarzenia	Samolot	Operacja*	L _{Aeq}	L _{Amax}	L _{AE}
				[dB]	[dB]	[dB]
10	01-11-2020 06:09:24	E75L	D	67,5	69,7	79,3
10	01-11-2020 06:59:13	A319	D	67,0	68,2	77,0
10	01-11-2020 08:30:32	B738	D	65,0	66,7	77,7
10	01-11-2020 08:36:49	DH8D	A	64,0	66,5	74,0
10	01-11-2020 10:54:41	B77W	A	65,9	68,1	78,7
10	01-11-2020 11:08:26	B77W	A	66,7	69,9	80,1
10	01-11-2020 12:45:31	B789	A	65,1	67,4	76,2
10	01-11-2020 12:52:46	E75S	A	62,8	63,9	73,2
10	01-11-2020 13:20:37	DH8D	A	64,4	66,3	76,2
10	01-11-2020 13:27:58	E195	A	64,2	67,7	77,2
10	01-11-2020 13:34:09	E75S	A	64,3	66,7	73,8
10	01-11-2020 14:02:48	E195	A	63,1	65,3	77,6
10	01-11-2020 14:07:47	E75S	A	62,5	63,8	73,6
10	01-11-2020 14:10:07	B788	A	63,8	66,0	77,8
10	01-11-2020 14:12:58	DH8D	A	61,4	63,9	74,0
10	01-11-2020 14:16:16	A20N	A	61,1	63,2	73,1
10	01-11-2020 14:18:13	E75S	A	62,0	63,1	74,1
10	01-11-2020 14:25:30	DH8D	A	60,9	62,3	73,0
10	01-11-2020 14:28:53	E170	A	61,0	63,0	74,6
10	01-11-2020 14:34:40	B789	A	63,6	66,3	77,6
10	01-11-2020 14:52:36	E195	A	62,5	65,0	76,3
10	01-11-2020 14:57:41	E170	A	62,6	64,7	74,9
10	01-11-2020 15:05:02	E170	A	65,4	71,7	78,8
10	01-11-2020 15:11:36	A320	A	64,1	66,4	77,4
10	01-11-2020 15:54:33	E190	A	62,5	65,5	76,5
10	01-11-2020 15:57:01	CRJ9	A	61,2	62,9	72,6
10	01-11-2020 16:17:43	E190	A	63,4	67,4	77,2
10	01-11-2020 16:32:38	B789	A	64,3	67,5	78,6
10	01-11-2020 16:43:50	CRJ9	A	61,2	62,4	72,0
10	01-11-2020 17:19:18	A21N	A	63,4	65,5	77,2
10	01-11-2020 17:39:50	BCS1	A	62,1	64,5	75,4
10	01-11-2020 17:47:32	A320	A	62,2	65,0	75,3
10	01-11-2020 18:28:43	A320	A	62,8	65,2	76,2
10	01-11-2020 18:37:12	DH8D	A	64,0	67,4	77,7
10	01-11-2020 18:45:14	E75S	A	61,7	64,4	75,7
10	01-11-2020 18:50:57	E195	A	62,5	65,1	76,5
10	01-11-2020 18:53:32	DH8D	A	60,6	62,5	71,0
10	01-11-2020 18:55:17	DH8D	A	62,3	64,7	76,5
10	01-11-2020 19:03:33	E170	A	63,2	65,7	76,5
10	01-11-2020 19:06:35	B738	A	64,1	66,5	78,4
10	01-11-2020 19:21:03	E195	A	63,5	66,4	78,1
10	01-11-2020 19:33:14	DH8D	A	62,3	64,2	74,1
10	01-11-2020 20:03:29	E75S	A	63,0	64,4	75,3
10	01-11-2020 20:30:38	E170	A	61,6	62,9	72,7
10	01-11-2020 20:37:03	DH8D	A	60,8	62,9	74,4
10	01-11-2020 20:44:20	E195	A	62,0	65,4	76,5
10	01-11-2020 20:56:45	A320	A	64,6	68,1	78,5
10	01-11-2020 20:59:54	E75S	A	65,5	69,3	79,5
10	01-11-2020 21:03:17	E75S	A	63,7	66,4	76,7
10	01-11-2020 21:05:14	E75S	A	64,5	68,1	77,9
10	01-11-2020 21:07:17	E75S	A	64,9	67,5	77,7
10	01-11-2020 21:09:19	A320	A	61,5	63,6	72,7
10	01-11-2020 21:10:54	E195	A	63,9	66,4	76,5
10	01-11-2020 21:13:04	E190	A	63,1	66,0	77,2

Nr punktu pomiarowego	Data i godz. zdarzenia	Samolot	Operacja*	L _{Aeq}	L _{Amax}	L _{AE}
				[dB]	[dB]	[dB]
10	01-11-2020 21:15:06	E170	A	62,5	65,7	76,5
10	01-11-2020 21:18:21	E75S	A	62,6	65,2	75,6
10	01-11-2020 21:21:35	B738	A	63,5	66,2	77,6
10	01-11-2020 21:24:02	E75S	A	61,6	64,1	75,4
10	01-11-2020 21:29:38	E190	A	63,4	65,5	75,9
10	01-11-2020 21:31:49	E195	A	62,8	65,6	77,3
10	01-11-2020 21:36:12	E195	A	62,2	64,2	75,6
10	01-11-2020 21:54:23	DH8D	A	65,2	68,6	79,3
10	02-11-2020 06:07:46	B738	A	67,9	70,1	77,4
10	02-11-2020 08:18:34	A320	A	64,7	66,8	76,5
10	02-11-2020 10:05:57	B789	A	64,4	65,2	75,2
10	02-11-2020 10:27:07	E195	A	64,6	66,1	76,9
10	02-11-2020 10:36:02	B77W	A	64,7	67,1	80,1
10	02-11-2020 11:24:18	E190	A	64,5	66,0	75,3
10	02-11-2020 11:41:14	E170	A	65,3	68,2	76,8
10	02-11-2020 11:48:54	E75S	A	62,9	64,4	73,3
10	02-11-2020 11:50:59	E195	A	64,0	66,3	75,5
10	02-11-2020 11:56:54	E170	A	63,4	64,9	73,4
10	02-11-2020 11:58:59	E75L	A	66,1	68,1	76,9
10	02-11-2020 12:01:30	E75S	A	65,0	67,2	76,7
10	02-11-2020 12:06:19	E170	A	63,6	66,2	75,7
10	02-11-2020 12:08:35	E195	A	64,6	67,2	76,1
10	02-11-2020 12:12:46	E75S	A	65,6	70,9	79,5
10	02-11-2020 12:16:26	B788	A	64,5	67,5	77,7
10	02-11-2020 12:20:51	C295	A	65,1	66,8	75,9
10	02-11-2020 12:22:42	E75S	A	64,9	66,4	74,9
10	02-11-2020 12:27:25	E190	A	64,3	67,0	79,2
10	02-11-2020 12:31:02	CRJ9	A	64,1	65,6	77,3
10	02-11-2020 12:40:25	E195	A	63,0	64,7	76,4
10	02-11-2020 12:45:47	C295	A	65,7	67,7	75,7
10	02-11-2020 12:47:50	B788	A	66,3	69,7	80,1
10	02-11-2020 12:50:05	E195	A	64,4	67,0	77,6
10	02-11-2020 13:00:31	B788	A	66,9	70,7	80,6
10	02-11-2020 13:03:28	E195	A	63,8	67,1	77,1
10	02-11-2020 13:07:23	DH8D	A	64,8	67,2	78,2
10	02-11-2020 13:10:22	DH8D	A	63,4	65,2	74,6
10	02-11-2020 13:15:46	DH8D	A	64,0	65,2	75,8
10	02-11-2020 13:25:04	E75S	A	63,9	65,3	74,7
10	02-11-2020 13:26:58	E195	A	64,5	66,0	76,2
10	02-11-2020 13:38:38	W3	A	69,4	73,8	85,6
10	02-11-2020 13:51:32	E75S	A	64,0	65,3	74,0
10	02-11-2020 14:07:39	DH8D	A	64,9	68,2	77,9
10	02-11-2020 14:12:03	B738	A	62,7	64,5	76,1
10	02-11-2020 14:20:51	E55P	A	61,3	63,2	73,3
10	02-11-2020 14:30:59	E75S	A	63,6	65,8	76,6
10	02-11-2020 14:41:08	E75S	A	62,2	65,1	74,3
10	02-11-2020 14:49:17	E170	A	62,4	64,8	75,0
10	02-11-2020 15:04:30	A319	A	64,0	66,9	77,0
10	02-11-2020 15:22:48	P180	A	65,2	69,2	81,7
10	02-11-2020 16:01:05	E190	A	62,3	66,0	75,9
10	02-11-2020 16:29:31	A332	A	65,0	70,0	80,2
10	02-11-2020 16:32:51	C295	A	64,6	67,0	76,4
10	02-11-2020 17:01:03	A319	A	63,6	66,1	76,1
10	02-11-2020 17:03:58	CRJ9	A	61,8	63,8	70,8

Nr punktu pomiarowego	Data i godz. zdarzenia	Samolot	Operacja*	L _{Aeq}	L _{Amax}	L _{AE}
				[dB]	[dB]	[dB]
10	02-11-2020 17:05:54	A21N	A	62,7	65,8	75,9
10	02-11-2020 17:32:25	B738	A	63,1	66,0	76,3
10	02-11-2020 18:15:13	A319	A	61,7	65,0	75,1
10	02-11-2020 18:17:12	E195	A	62,8	66,4	76,2
10	02-11-2020 18:38:05	E75S	A	63,3	67,8	76,8
10	02-11-2020 18:39:31	DH8D	A	61,3	62,4	73,3
10	02-11-2020 18:41:13	E170	A	61,3	63,1	72,1
10	02-11-2020 18:43:00	E75S	A	60,9	62,0	72,0
10	02-11-2020 18:44:27	DH8D	A	64,0	68,2	74,0
10	02-11-2020 18:46:16	E75S	A	61,8	62,8	73,2
10	02-11-2020 18:48:12	DH8D	A	62,5	64,6	73,6
10	02-11-2020 18:50:20	DH8D	A	61,3	62,5	70,8
10	02-11-2020 18:51:50	DH8D	A	62,6	64,0	73,1
10	02-11-2020 18:57:49	E190	A	62,2	64,5	76,0
10	02-11-2020 19:09:08	E75S	A	62,5	64,8	74,6
10	02-11-2020 19:10:49	E75S	A	62,2	65,6	75,0
10	02-11-2020 19:12:40	E170	A	62,6	65,7	75,1
10	02-11-2020 19:14:24	AT75	A	63,1	64,9	73,5
10	02-11-2020 19:17:45	E195	A	62,9	65,4	74,9
10	02-11-2020 19:24:41	E75S	A	61,7	63,0	71,7
10	02-11-2020 19:43:12	E195	A	62,8	66,1	76,5
10	02-11-2020 19:50:13	E170	A	61,4	62,3	71,9
10	02-11-2020 20:16:38	B738	A	63,0	66,0	75,5
10	02-11-2020 20:36:29	DH8D	A	61,3	63,5	72,8
10	02-11-2020 20:38:37	E75S	A	61,3	62,7	72,1
10	02-11-2020 20:58:43	E75S	A	61,0	62,4	70,0
10	02-11-2020 21:01:15	E195	A	60,7	61,9	72,2
10	02-11-2020 21:08:50	E75S	A	60,7	61,8	71,1
10	02-11-2020 21:19:47	E195	A	62,0	66,1	74,5
10	02-11-2020 21:24:45	B738	A	63,0	65,8	75,5
10	02-11-2020 21:49:01	DH8D	A	60,8	62,7	73,1
10	03-11-2020 06:20:51	E75L	D	66,8	68,2	77,6
10	03-11-2020 07:43:07	E75S	D	67,8	70,3	87,3
10	03-11-2020 07:47:10	E195	D	67,1	67,8	76,7
10	03-11-2020 08:01:20	E75S	D	64,7	67,8	77,9
10	03-11-2020 08:02:46	E75S	D	64,2	65,9	77,6
10	03-11-2020 08:34:10	CL30	D	63,4	64,9	75,9
10	03-11-2020 09:20:34	E170	D	64,9	67,1	78,1
10	03-11-2020 09:55:31	C25A	D	63,7	64,9	76,0
10	03-11-2020 10:59:14	E190	D	64,9	67,5	79,1
10	03-11-2020 11:15:28	E75S	D	63,5	64,7	76,3
10	03-11-2020 12:23:59	A21N	D	64,9	68,1	80,3
10	03-11-2020 12:47:39	E75L	D	63,9	65,2	76,2
10	03-11-2020 12:53:37	A319	D	63,8	65,8	76,4
10	03-11-2020 15:41:06	E75S	D	60,4	61,9	72,9
10	03-11-2020 15:46:29	E170	D	62,0	64,3	74,0
10	03-11-2020 15:51:06	E75S	D	60,9	63,4	73,4
10	03-11-2020 15:54:03	E195	D	62,6	65,3	77,5
10	03-11-2020 15:56:05	E75S	D	62,2	65,1	75,7
10	03-11-2020 15:58:29	E195	D	64,1	68,6	80,3
10	03-11-2020 16:36:14	DH8D	D	60,6	62,6	73,4
10	03-11-2020 16:39:13	E75S	D	64,6	67,7	80,3
10	03-11-2020 16:54:48	E75S	D	60,8	63,2	72,6
10	03-11-2020 17:35:54	E190	D	63,2	66,7	79,0

Nr punktu pomiarowego	Data i godz. zdarzenia	Samolot	Operacja*	L _{Aeq}	L _{Amax}	L _{AE}
				[dB]	[dB]	[dB]
10	03-11-2020 17:56:02	A21N	D	64,3	68,5	79,5
10	03-11-2020 18:06:28	E170	D	63,9	67,5	79,4
10	03-11-2020 18:50:46	C295	D	68,6	73,4	84,1
10	03-11-2020 18:56:01	M28	D	61,2	63,3	74,8
10	03-11-2020 19:40:40	A320	D	63,5	66,1	79,3
10	03-11-2020 19:56:38	C25A	D	61,9	63,3	76,1
10	03-11-2020 21:09:27	AT72	D	61,5	63,5	73,3
10	03-11-2020 21:23:37	B763	D	64,3	68,8	81,9
10	03-11-2020 21:39:27	B734	D	68,4	73,6	85,1
10	04-11-2020 06:16:36	E190	D	68,6	71,1	81,2
10	04-11-2020 07:29:12	E75S	D	66,9	68,5	76,4
10	04-11-2020 07:40:01	E170	D	66,5	68,0	76,9
10	04-11-2020 09:59:11	B738	D	65,7	68,3	76,9
10	04-11-2020 10:10:35	E75S	D	63,6	65,3	78,3
10	04-11-2020 10:21:34	P180	D	67,4	71,4	82,0
10	04-11-2020 10:26:03	E170	D	63,8	66,4	77,0
10	04-11-2020 10:30:13	E75S	D	63,5	65,0	74,3
10	04-11-2020 10:41:04	E75S	D	64,5	66,4	82,1
10	04-11-2020 10:47:20	E75S	D	63,2	64,3	73,6
10	04-11-2020 11:00:40	E195	D	65,0	68,2	77,1
10	04-11-2020 11:03:49	E195	D	65,1	67,0	77,1
10	04-11-2020 11:11:50	E195	D	63,9	67,0	76,0
10	04-11-2020 11:49:11	B738	D	63,4	65,0	74,6
10	04-11-2020 12:22:23	B763	D	66,5	69,3	81,7
10	04-11-2020 12:46:43	E75L	D	64,7	67,4	79,9
10	04-11-2020 12:50:08	A320	D	65,2	68,2	79,0
10	04-11-2020 13:11:54	B77W	D	66,4	70,2	84,0
10	04-11-2020 13:29:38	CRJ9	D	63,8	65,0	75,0
10	04-11-2020 16:21:18	E195	D	63,6	67,2	79,5
10	04-11-2020 16:35:39	E75S	D	60,8	62,5	75,6
10	04-11-2020 16:37:07	E75S	D	62,7	65,3	77,5
10	04-11-2020 16:46:59	E170	D	63,2	66,4	79,4
10	04-11-2020 16:53:21	E170	D	62,9	67,3	78,8
10	04-11-2020 16:58:39	E75S	D	63,6	67,0	80,0
10	04-11-2020 17:02:42	E195	D	64,2	67,4	79,1
10	04-11-2020 17:05:43	E75S	D	63,2	67,3	78,6
10	04-11-2020 17:13:26	E190	D	63,2	66,2	78,3
10	04-11-2020 17:16:58	E75S	D	63,0	65,8	77,3
10	04-11-2020 17:18:54	E190	D	62,9	66,9	78,1
10	04-11-2020 17:20:52	E170	D	62,0	64,2	76,6
10	04-11-2020 17:22:53	E75S	D	63,0	66,1	78,9
10	04-11-2020 17:35:33	A21N	D	64,6	67,0	79,1
10	04-11-2020 19:11:28	A319	D	61,4	63,0	76,6
10	04-11-2020 19:49:18	A21N	D	60,9	63,1	74,3
10	04-11-2020 21:32:52	B763	D	66,8	71,0	83,4
10	04-11-2020 21:45:53	B734	D	67,5	72,2	83,9
10	05-11-2020 06:15:14	E75L	D	67,3	68,7	78,1
10	05-11-2020 07:00:13	A20N	D	66,9	68,8	76,5
10	05-11-2020 07:04:33	B738	D	68,0	69,4	81,2
10	05-11-2020 07:21:39	AT75	D	68,2	70,1	84,2
10	05-11-2020 07:26:52	E170	D	66,6	68,0	75,6
10	05-11-2020 07:38:54	E75S	D	67,1	69,0	78,6
10	05-11-2020 07:40:30	E195	D	66,6	67,7	76,6
10	05-11-2020 07:42:00	E75S	D	67,6	68,9	80,1

Nr punktu pomiarowego	Data i godz. zdarzenia	Samolot	Operacja*	L _{Aeq}	L _{Amax}	L _{AE}
				[dB]	[dB]	[dB]
10	05-11-2020 07:44:25	E170	D	68,4	70,0	80,9
10	05-11-2020 08:08:56	E170	D	64,2	65,6	74,2
10	05-11-2020 09:26:02	E170	D	63,0	64,8	73,4
10	05-11-2020 13:18:47	E190	D	65,6	68,8	80,5
10	05-11-2020 15:00:08	P180	D	60,1	61,5	72,1
10	05-11-2020 15:38:12	E75S	D	61,5	64,7	77,2
10	05-11-2020 15:45:16	E75S	D	61,2	63,9	77,2
10	05-11-2020 15:50:25	E195	D	62,2	65,9	78,4
10	05-11-2020 15:52:28	E75S	D	62,6	64,9	78,6
10	05-11-2020 15:54:25	E170	D	62,2	65,4	78,1
10	05-11-2020 15:55:44	E170	D	63,6	66,8	79,9
10	05-11-2020 15:58:26	E195	D	64,9	68,0	81,9
10	05-11-2020 16:33:44	DH8D	D	58,9	62,9	69,3
10	05-11-2020 16:38:16	DH8D	D	60,5	61,5	71,9
10	05-11-2020 16:46:27	E75S	D	61,9	64,6	76,8
10	05-11-2020 16:51:11	E75S	D	63,4	66,8	79,2
10	05-11-2020 16:54:00	B77W	D	65,2	69,0	82,4
10	05-11-2020 17:26:59	E170	D	64,0	68,7	80,3
10	05-11-2020 17:35:50	A21N	D	62,8	66,5	79,7
10	05-11-2020 17:47:12	C525	D	62,4	66,2	77,6
10	05-11-2020 18:01:34	A20N	D	61,1	63,6	73,1
10	05-11-2020 18:04:47	E170	D	62,7	65,9	78,9
10	05-11-2020 21:02:46	B734	D	64,1	69,3	81,2
10	05-11-2020 21:23:58	B763	D	65,7	70,7	82,8
10	05-11-2020 21:29:19	E75S	D	66,4	70,3	81,6
10	05-11-2020 21:40:59	B734	D	66,4	71,6	83,1
10	06-11-2020 09:52:37	E170	D	64,7	67,2	75,9
10	06-11-2020 10:31:43	DH8D	D	65,7	67,6	76,5
10	06-11-2020 10:48:21	E195	D	64,7	66,5	77,0
10	06-11-2020 11:23:34	A21N	D	63,3	65,0	74,1
10	06-11-2020 12:53:04	E75L	D	64,2	66,1	78,8
10	06-11-2020 15:47:50	A319	D	61,6	65,5	75,9
10	06-11-2020 15:55:19	E170	D	61,4	62,6	73,4
10	06-11-2020 16:21:27	A319	D	62,6	64,6	75,7
10	06-11-2020 16:34:35	E195	D	62,3	65,4	76,2
10	06-11-2020 16:40:35	E75S	D	62,6	66,0	76,2
10	06-11-2020 16:47:12	E75S	D	61,8	64,9	75,7
10	06-11-2020 16:50:07	E195	D	63,0	65,8	78,2
10	06-11-2020 16:57:46	E75S	D	62,7	66,2	76,4
10	06-11-2020 16:59:12	E190	D	60,5	63,0	73,0
10	06-11-2020 17:04:10	B738	D	63,6	66,8	77,4
10	06-11-2020 17:08:09	E170	D	62,7	66,6	76,1
10	06-11-2020 17:13:17	E75S	D	62,4	66,6	77,8
10	06-11-2020 17:17:09	E75S	D	63,5	66,7	77,5
10	06-11-2020 17:20:20	E75S	D	61,8	65,1	76,3
10	06-11-2020 17:22:02	E190	D	62,4	67,5	77,6
10	06-11-2020 17:29:16	E170	D	61,3	63,6	74,9
10	06-11-2020 17:36:19	A320	D	62,4	65,7	77,7
10	06-11-2020 19:51:57	A333	D	63,8	68,8	79,6
10	06-11-2020 21:15:33	B763	D	64,0	66,5	78,9
10	06-11-2020 21:47:48	B738	D	66,9	71,5	82,1
10	07-11-2020 07:22:05	B738	D	68,0	70,7	81,0
10	07-11-2020 12:03:40	B738	D	65,0	67,5	79,9
10	07-11-2020 16:41:03	A21N	D	61,2	63,0	71,6

Nr punktu pomiarowego	Data i godz. zdarzenia	Samolot	Operacja*	L _{Aeq}	L _{Amax}	L _{AE}
				[dB]	[dB]	[dB]
10	07-11-2020 17:56:20	C295	A	61,8	62,8	71,3
10	07-11-2020 18:01:51	E75S	A	60,6	62,8	72,7
10	07-11-2020 18:04:26	A320	A	61,7	63,0	72,5
10	07-11-2020 18:29:18	E170	A	61,8	64,3	74,9
10	07-11-2020 18:32:12	E75S	A	60,8	62,2	71,6
10	07-11-2020 18:38:36	E75S	A	60,3	62,1	71,1
10	07-11-2020 18:40:43	DH8D	A	62,4	63,8	73,2
10	07-11-2020 18:44:33	E75S	A	59,0	62,0	71,1
10	07-11-2020 18:51:48	DH8D	A	61,1	63,6	72,6
10	07-11-2020 19:10:53	E75S	A	61,1	62,8	72,3
10	07-11-2020 19:21:10	B738	A	63,2	65,8	75,5
10	07-11-2020 19:24:14	E75S	A	60,4	61,6	69,9
10	07-11-2020 19:59:57	E75S	A	61,2	63,8	71,6
10	08-11-2020 09:14:40	B738	D	64,6	66,7	78,4
10	08-11-2020 09:22:48	E75S	D	64,5	66,4	74,5
10	08-11-2020 10:19:34	A21N	D	65,9	68,0	78,9
10	08-11-2020 10:32:24	E170	D	64,2	68,6	76,8
10	08-11-2020 10:40:56	E195	D	64,5	67,6	75,9
10	08-11-2020 11:34:18	E75S	D	62,0	63,8	72,4
10	08-11-2020 13:07:12	B77W	D	67,9	72,1	82,5
10	08-11-2020 13:24:30	E195	D	64,4	67,4	76,4
10	08-11-2020 13:28:35	B789	D	63,2	64,9	74,6
10	08-11-2020 16:41:39	E190	D	62,7	64,8	73,9
10	08-11-2020 17:05:03	B738	D	62,2	65,4	76,4
10	08-11-2020 17:12:49	E170	D	61,3	63,3	73,1
10	08-11-2020 17:22:26	E75S	D	62,1	64,6	72,1
10	08-11-2020 18:04:25	A320	D	60,2	62,2	72,5
10	08-11-2020 19:47:32	DH8D	A	63,5	66,4	77,0
10	08-11-2020 20:42:19	DH8D	A	61,2	62,8	73,0
10	08-11-2020 20:45:45	E75S	A	62,3	64,3	75,3
10	08-11-2020 20:50:24	E75S	A	62,3	65,4	77,2
10	08-11-2020 20:52:19	E75S	A	62,7	65,5	76,5
10	08-11-2020 20:56:39	A321	A	61,6	62,4	73,4
10	08-11-2020 21:03:15	B738	A	65,4	67,8	79,2
10	08-11-2020 21:04:44	E190	A	63,0	66,3	77,7
10	08-11-2020 21:07:21	E170	A	62,4	64,6	75,2
10	08-11-2020 21:09:34	E75S	A	62,6	64,5	75,6
10	08-11-2020 21:11:07	E170	A	62,6	64,0	75,2
10	08-11-2020 21:15:05	E195	A	63,9	66,0	78,2
10	08-11-2020 21:16:45	E75S	A	62,6	65,0	76,1
10	08-11-2020 21:19:29	E75S	A	62,7	65,1	76,3
10	08-11-2020 21:21:39	E75S	A	62,9	64,8	76,3
10	08-11-2020 21:33:51	E195	A	64,6	67,4	78,0
10	08-11-2020 21:35:41	E195	A	64,6	67,9	78,2
10	08-11-2020 21:57:02	DH8D	A	62,8	65,4	75,9
10	09-11-2020 06:22:23	B734	A	72,6	77,3	85,3
10	09-11-2020 07:53:14	A320	A	67,6	68,7	78,4
10	09-11-2020 08:29:19	B738	A	65,5	67,5	76,9
10	09-11-2020 08:39:00	AT75	A	63,4	64,6	73,4
10	09-11-2020 09:07:40	E75S	A	63,2	64,1	75,3
10	09-11-2020 10:09:19	B789	A	65,3	67,1	78,5
10	09-11-2020 10:44:13	E195	A	64,9	67,9	78,1
10	09-11-2020 10:50:16	E75S	A	63,8	65,4	74,6
10	09-11-2020 10:58:45	A21N	A	65,2	68,5	74,8

Nr punktu pomiarowego	Data i godz. zdarzenia	Samolot	Operacja*	L _{Aeq}	L _{Amax}	L _{AE}
				[dB]	[dB]	[dB]
10	09-11-2020 11:25:59	E190	A	64,9	67,1	78,1
10	09-11-2020 11:36:38	B738	A	64,7	67,9	78,3
10	09-11-2020 11:40:57	E75S	A	62,8	63,9	73,9
10	09-11-2020 11:43:23	E75S	A	63,3	65,6	76,4
10	09-11-2020 11:45:38	E190	A	64,2	65,6	75,3
10	09-11-2020 11:47:52	E190	A	65,7	67,6	76,5
10	09-11-2020 11:50:46	E75S	A	63,8	64,9	72,9
10	09-11-2020 11:52:54	E75S	A	64,2	65,7	74,2
10	09-11-2020 12:05:42	E195	A	64,7	66,3	76,8
10	09-11-2020 12:13:14	E75S	A	64,2	66,3	75,6
10	09-11-2020 12:15:22	E195	A	64,9	67,3	78,3
10	09-11-2020 12:17:12	E75S	A	64,0	66,2	76,6
10	09-11-2020 12:22:40	E190	A	64,2	67,6	77,2
10	09-11-2020 12:26:55	B789	A	65,1	67,0	79,1
10	09-11-2020 12:30:00	CRJ9	A	63,0	64,0	72,0
10	09-11-2020 12:44:49	E170	A	64,5	66,7	79,6
10	09-11-2020 12:48:57	E170	A	63,8	65,9	75,9
10	09-11-2020 12:56:52	B788	A	64,2	65,6	76,8
10	09-11-2020 13:19:59	DH8D	A	64,5	65,9	75,9
10	09-11-2020 13:26:56	B788	A	64,7	66,4	77,5
10	09-11-2020 13:30:54	DH8D	A	63,1	64,6	75,6
10	09-11-2020 13:41:55	E195	A	65,6	67,5	78,2
10	09-11-2020 14:06:49	E195	A	63,9	66,2	78,1
10	09-11-2020 14:09:08	E195	A	63,7	66,7	79,0
10	09-11-2020 14:15:28	DH8D	A	60,7	62,6	74,1
10	09-11-2020 14:19:41	E75S	A	62,8	65,6	76,0
10	09-11-2020 14:32:46	AN28	A	61,2	63,9	76,9
10	09-11-2020 14:39:49	E170	A	62,9	64,8	75,2
10	09-11-2020 14:49:23	P180	A	64,6	68,5	82,2
10	09-11-2020 15:07:28	A20N	A	61,6	64,4	76,2
10	09-11-2020 16:19:06	E170	A	63,7	67,1	78,0
10	09-11-2020 16:21:17	A332	A	65,4	69,3	81,0
10	09-11-2020 16:44:58	A20N	A	62,3	64,2	75,8
10	09-11-2020 17:08:38	CRJ9	A	61,8	63,3	73,9
10	09-11-2020 18:16:06	E195	A	63,2	66,5	77,8
10	09-11-2020 18:21:19	F406	A	61,8	62,9	72,2
10	09-11-2020 18:35:11	DH8D	A	60,9	62,2	72,1
10	09-11-2020 18:40:32	E75S	A	62,7	64,6	76,5
10	09-11-2020 18:42:35	E75S	A	61,2	63,5	75,8
10	09-11-2020 18:44:27	DH8D	A	63,4	65,1	77,1
10	09-11-2020 18:46:06	E170	A	62,7	65,3	76,2
10	09-11-2020 18:47:50	AT75	A	62,0	63,5	74,1
10	09-11-2020 18:49:50	DH8D	A	60,4	61,7	72,9
10	09-11-2020 18:53:22	DH8D	A	65,7	70,4	76,2
10	09-11-2020 18:54:57	E75S	A	63,4	66,1	77,7
10	09-11-2020 18:58:04	DH8D	A	61,7	62,8	73,2
10	09-11-2020 19:00:24	E75S	A	62,8	66,2	76,8
10	09-11-2020 19:05:36	DH8D	A	64,6	68,1	79,2
10	09-11-2020 19:07:37	E75S	A	62,3	64,1	76,1
10	09-11-2020 19:10:04	E170	A	61,9	65,2	76,0
10	09-11-2020 19:14:46	E75S	A	62,3	65,5	78,6
10	09-11-2020 19:24:05	E75S	A	61,6	63,3	75,0
10	09-11-2020 19:37:15	E75S	A	62,1	63,9	75,7
10	09-11-2020 20:01:09	E190	A	62,6	65,7	77,6

Nr punktu pomiarowego	Data i godz. zdarzenia	Samolot	Operacja*	L _{Aeq}	L _{Amax}	L _{AE}
				[dB]	[dB]	[dB]
10	09-11-2020 20:08:21	B738	A	64,0	67,4	79,2
10	09-11-2020 20:29:26	B734	A	66,6	71,5	81,2
10	09-11-2020 20:34:51	DH8D	A	62,6	65,2	77,0
10	09-11-2020 20:56:48	E75S	A	62,0	71,2	74,3
10	09-11-2020 21:07:02	E170	A	63,3	66,6	77,1
10	09-11-2020 21:10:07	GLEX	A	63,3	66,5	77,8
10	09-11-2020 21:42:34	C295	A	64,0	66,5	77,6
10	10-11-2020 06:25:27	B734	A	68,6	71,3	81,1
10	10-11-2020 07:23:44	AT72	A	67,0	69,1	77,4
10	10-11-2020 07:55:06	C295	A	66,2	67,1	75,7
10	10-11-2020 09:28:03	A21N	A	63,3	65,3	75,3
10	10-11-2020 10:53:13	E75S	A	63,1	65,5	72,7
10	10-11-2020 11:37:21	B789	A	65,8	69,5	81,7
10	10-11-2020 11:39:50	E170	A	64,7	68,0	81,1
10	10-11-2020 11:41:54	E75S	A	63,8	65,4	75,8
10	10-11-2020 11:43:52	E75L	A	65,1	67,2	75,5
10	10-11-2020 11:46:14	B738	A	65,9	69,1	79,9
10	10-11-2020 11:48:31	E75S	A	63,6	64,7	73,2
10	10-11-2020 11:50:53	E170	A	65,1	66,8	77,1
10	10-11-2020 11:52:58	E170	A	64,0	65,4	77,8
10	10-11-2020 11:56:12	E75S	A	62,4	63,4	71,4
10	10-11-2020 12:17:44	E75S	A	62,7	63,9	71,7
10	10-11-2020 12:25:36	E75S	A	64,6	67,1	76,7
10	10-11-2020 12:52:38	E75S	A	65,2	67,7	80,8
10	10-11-2020 13:00:14	B788	A	64,4	66,9	79,0
10	10-11-2020 13:11:10	DH8D	A	63,3	64,9	72,8
10	10-11-2020 13:46:26	E75L	A	64,8	67,6	79,1
10	10-11-2020 15:51:15	CRJ9	A	61,3	64,0	73,6
10	10-11-2020 16:02:47	A21N	A	65,6	68,4	80,6
10	10-11-2020 16:38:32	A21N	A	62,4	65,5	76,0
10	10-11-2020 17:32:18	B789	A	62,9	66,9	79,1
10	10-11-2020 17:56:33	E75S	A	61,1	63,3	74,7
10	10-11-2020 18:37:25	DH8D	A	60,2	61,4	71,6
10	10-11-2020 18:40:37	DH8D	A	64,9	71,5	80,3
10	10-11-2020 18:42:18	DH8D	A	61,5	64,1	74,5
10	10-11-2020 18:44:20	E75S	A	61,6	63,7	75,6
10	10-11-2020 18:48:59	E170	A	61,7	65,2	76,6
10	10-11-2020 18:50:45	E75S	A	63,4	66,4	76,8
10	10-11-2020 18:53:09	DH8D	A	59,8	61,3	72,6
10	10-11-2020 18:57:07	DH8D	A	62,7	64,7	75,5
10	10-11-2020 18:59:08	E195	A	64,5	67,5	79,4
10	10-11-2020 19:10:54	E75S	A	62,3	65,4	77,1
10	10-11-2020 19:16:47	DH8D	A	61,2	62,6	72,3
10	10-11-2020 19:23:02	E75S	A	64,5	67,4	77,5
10	10-11-2020 19:32:24	AT75	A	62,0	64,5	74,5
10	10-11-2020 19:58:09	E170	A	61,7	64,1	76,0
10	10-11-2020 20:21:31	B734	A	65,1	69,3	81,1
10	10-11-2020 20:35:36	E75S	A	63,0	66,6	76,4
10	10-11-2020 21:01:13	E75S	A	64,0	67,8	79,7
10	10-11-2020 21:04:43	B738	A	62,4	64,6	74,7
10	10-11-2020 21:16:46	B738	A	64,4	68,9	79,7
10	10-11-2020 21:56:45	DH8D	A	61,0	62,5	71,4
10	11-11-2020 06:59:24	AT72	A	66,3	66,9	75,3
10	11-11-2020 08:27:59	E75S	A	63,8	65,7	76,8

Nr punktu pomiarowego	Data i godz. zdarzenia	Samolot	Operacja*	L _{Aeq}	L _{Amax}	L _{AE}
				[dB]	[dB]	[dB]
10	11-11-2020 08:42:35	P180	A	67,1	71,3	83,8
10	11-11-2020 11:07:30	B77W	A	67,1	71,5	81,9
10	11-11-2020 11:49:10	E190	A	66,1	68,8	78,2
10	11-11-2020 12:59:09	E75S	A	65,3	67,9	77,6
10	11-11-2020 13:05:34	F2TH	A	67,7	71,5	82,0
10	11-11-2020 13:13:53	E195	A	65,2	68,0	78,2
10	11-11-2020 13:21:30	DH8D	A	63,5	64,8	74,6
10	11-11-2020 13:23:48	P180	A	67,5	71,2	83,9
10	11-11-2020 13:26:23	E75S	A	63,0	63,8	73,8
10	11-11-2020 13:32:41	E75S	A	65,5	67,5	77,3
10	11-11-2020 13:38:39	E75S	A	64,9	66,4	74,9
10	11-11-2020 13:43:23	B735	A	66,5	68,3	79,2
10	11-11-2020 13:46:35	DH8D	A	63,7	66,2	76,8
10	11-11-2020 13:55:29	E75S	A	64,3	65,7	74,3
10	11-11-2020 14:01:13	DH8D	A	61,4	63,2	70,9
10	11-11-2020 14:12:40	E190	A	63,6	66,5	78,1
10	11-11-2020 14:14:37	E195	A	64,1	67,6	78,9
10	11-11-2020 14:16:56	E195	A	64,5	68,4	78,9
10	11-11-2020 14:19:43	E170	A	62,2	64,6	75,4
10	11-11-2020 14:21:40	E170	A	63,0	65,6	77,0
10	11-11-2020 14:27:13	E75S	A	63,2	65,5	77,2
10	11-11-2020 14:39:32	E170	A	62,5	65,6	75,9
10	11-11-2020 14:53:10	B789	A	64,3	68,3	79,9
10	11-11-2020 14:56:12	DH8D	A	62,2	63,7	72,2
10	11-11-2020 16:15:51	E170	A	64,6	69,0	78,4
10	11-11-2020 17:00:25	CRJ9	A	61,3	63,2	71,3
10	11-11-2020 18:43:54	DH8D	A	61,8	63,4	74,8
10	11-11-2020 18:46:42	DH8D	A	62,2	64,5	75,4
10	11-11-2020 18:49:10	AT72	A	64,5	67,9	79,0
10	11-11-2020 19:21:05	C25C	A	66,4	69,4	79,6
10	11-11-2020 19:24:24	AT75	A	63,6	66,2	75,9
10	11-11-2020 20:32:14	DH8D	A	60,3	62,3	71,1
10	11-11-2020 20:43:56	E170	A	61,9	63,6	74,9
10	11-11-2020 20:47:27	E170	A	63,5	66,0	77,1
10	11-11-2020 20:52:39	E75S	A	62,7	65,0	76,3
10	11-11-2020 20:56:19	E75S	A	61,8	63,8	75,2
10	11-11-2020 21:02:12	E195	A	61,4	63,4	74,2
10	11-11-2020 21:04:21	E75S	A	64,1	66,3	78,0
10	11-11-2020 21:07:26	E170	A	61,0	62,9	73,6
10	11-11-2020 21:12:41	E75S	A	64,6	66,7	77,0
10	11-11-2020 21:14:32	E75S	A	62,8	64,9	75,1
10	11-11-2020 21:17:17	E75S	A	63,7	66,4	78,8
10	11-11-2020 21:20:12	E75S	A	63,2	66,8	76,0
10	11-11-2020 21:23:29	E75S	A	63,3	66,2	75,6
10	11-11-2020 21:33:20	B738	A	63,8	66,4	78,2
10	11-11-2020 21:35:49	E75S	A	61,5	63,3	75,3
10	12-11-2020 06:32:14	B734	A	69,3	72,8	78,9
10	12-11-2020 08:40:20	CL35	A	64,5	66,5	75,3
10	12-11-2020 09:13:00	B737	A	65,5	67,7	78,3
10	12-11-2020 09:56:15	B788	A	64,2	66,1	77,5
10	12-11-2020 10:57:50	E75S	A	64,3	65,5	75,4
10	12-11-2020 11:29:44	E75S	A	63,2	64,4	73,6
10	12-11-2020 11:50:40	E190	A	64,2	66,2	76,7
10	12-11-2020 11:52:34	E170	A	65,3	66,7	75,7

Nr punktu pomiarowego	Data i godz. zdarzenia	Samolot	Operacja*	L _{Aeq}	L _{Amax}	L _{AE}
				[dB]	[dB]	[dB]
10	12-11-2020 11:54:38	E75S	A	66,0	67,8	77,1
10	12-11-2020 11:56:19	E170	A	64,5	66,2	76,5
10	12-11-2020 12:06:29	E75S	A	63,2	64,1	73,6
10	12-11-2020 12:10:49	E75S	A	64,0	65,6	74,8
10	12-11-2020 12:12:36	E75S	A	63,2	64,2	75,8
10	12-11-2020 12:14:49	E75S	A	63,6	65,5	74,7
10	12-11-2020 12:16:46	B788	A	66,2	68,7	80,7
10	12-11-2020 12:20:16	E75S	A	63,7	65,3	76,5
10	12-11-2020 12:39:55	B788	A	65,3	67,5	81,1
10	12-11-2020 12:54:20	DH8D	A	62,8	63,7	72,8
10	12-11-2020 12:59:08	E170	A	63,8	65,3	74,3
10	12-11-2020 13:02:59	DH8D	A	63,8	65,8	77,4
10	12-11-2020 13:09:15	DH8D	A	63,7	66,0	76,7
10	12-11-2020 13:21:34	B789	A	66,3	69,9	80,9
10	12-11-2020 13:30:27	DH8D	A	63,3	65,2	75,3
10	12-11-2020 13:33:44	B738	A	65,7	68,6	79,1
10	12-11-2020 13:45:25	TBM8	A	64,5	65,6	74,5
10	12-11-2020 13:50:12	B788	A	66,0	70,0	81,1
10	12-11-2020 13:57:39	E75S	A	65,9	69,3	79,5
10	12-11-2020 14:02:00	A20N	A	62,6	65,5	76,6
10	12-11-2020 14:40:15	AT75	A	63,0	65,2	74,4
10	12-11-2020 14:45:37	B77W	A	64,2	68,3	80,2
10	12-11-2020 15:18:49	A319	A	63,1	67,1	78,6
10	12-11-2020 16:19:10	B738	A	65,8	70,0	81,1
10	12-11-2020 17:29:28	HDJT	A	60,7	62,4	76,1
10	12-11-2020 18:10:05	B788	A	63,1	65,3	77,2
10	12-11-2020 18:25:47	DH8D	A	62,2	64,2	74,8
10	12-11-2020 18:40:16	E75S	A	62,4	65,0	74,7
10	12-11-2020 18:42:20	E170	A	61,2	63,0	75,5
10	12-11-2020 18:44:58	DH8D	A	60,0	61,0	69,0
10	12-11-2020 18:47:17	DH8D	A	62,7	64,9	76,5
10	12-11-2020 18:49:10	E75S	A	64,1	67,1	78,4
10	12-11-2020 18:51:19	DH8D	A	60,4	62,5	74,4
10	12-11-2020 18:53:17	DH8D	A	61,7	64,6	75,7
10	12-11-2020 18:55:24	E75S	A	62,1	65,8	77,3
10	12-11-2020 18:57:45	E170	A	62,0	64,9	76,4
10	12-11-2020 19:04:11	E75S	A	63,1	65,8	78,7
10	12-11-2020 19:06:30	DH8D	A	60,9	62,3	71,7
10	12-11-2020 19:13:33	E35L	A	62,0	64,0	74,1
10	12-11-2020 19:20:21	E195	A	63,0	66,1	78,4
10	12-11-2020 19:22:25	E195	A	62,8	65,6	77,5
10	12-11-2020 19:34:57	E75S	A	62,4	66,1	76,0
10	12-11-2020 19:43:50	E75S	A	61,9	64,6	74,4
10	12-11-2020 20:09:07	E75S	A	64,2	67,5	78,7
10	12-11-2020 20:24:43	AT75	A	62,7	64,8	74,5
10	12-11-2020 20:27:16	B734	A	63,4	66,7	79,1
10	12-11-2020 20:31:19	E75S	A	64,7	68,1	79,0
10	12-11-2020 20:40:20	E170	A	61,3	64,3	75,3
10	12-11-2020 21:08:54	E75S	A	63,2	64,6	75,2
10	12-11-2020 21:30:23	B738	A	66,6	71,9	81,7
10	13-11-2020 06:10:40	B734	A	66,9	70,3	78,7
10	13-11-2020 07:05:12	A20N	D	67,7	69,4	77,3
10	13-11-2020 08:29:44	E75S	A	62,7	63,8	72,3
10	13-11-2020 09:11:18	DH8D	A	63,5	64,4	75,0

Nr punktu pomiarowego	Data i godz. zdarzenia	Samolot	Operacja*	L _{Aeq}	L _{Amax}	L _{AE}
				[dB]	[dB]	[dB]
10	13-11-2020 09:15:31	DH8D	A	63,8	65,2	75,2
10	13-11-2020 09:54:21	DH8D	A	63,8	65,5	73,8
10	13-11-2020 11:10:06	B77W	A	66,4	69,4	80,7
10	13-11-2020 11:37:32	E190	A	64,7	67,8	77,3
10	13-11-2020 11:55:37	E170	A	64,8	66,4	75,9
10	13-11-2020 12:43:17	E170	A	64,2	65,5	78,0
10	13-11-2020 13:04:07	DH8D	A	64,7	66,2	74,7
10	13-11-2020 13:07:44	DH8D	A	64,5	66,0	74,9
10	13-11-2020 13:09:46	DH8D	A	63,1	63,9	73,1
10	13-11-2020 13:11:55	DH8D	A	64,9	67,2	76,9
10	13-11-2020 13:13:29	E75S	A	66,5	69,3	78,6
10	13-11-2020 13:15:26	DH8D	A	63,5	64,3	73,5
10	13-11-2020 13:20:24	E75S	A	64,3	65,5	75,1
10	13-11-2020 13:22:30	TBM8	A	65,2	66,5	76,0
10	13-11-2020 13:48:08	DH8D	A	64,2	65,2	74,6
10	13-11-2020 13:58:52	E75S	A	65,0	66,9	75,0
10	13-11-2020 14:00:44	B735	A	64,7	66,7	78,2
10	13-11-2020 14:04:47	A20N	A	62,6	65,4	76,6
10	13-11-2020 14:19:11	DH8D	A	63,4	65,9	77,7
10	13-11-2020 14:21:14	E195	A	64,3	67,7	78,3
10	13-11-2020 14:24:28	E75S	A	62,6	64,8	75,6
10	13-11-2020 14:25:50	E170	A	63,1	65,3	76,3
10	13-11-2020 14:27:32	E75S	A	63,4	65,5	77,2
10	13-11-2020 14:48:49	E75S	A	63,7	65,2	75,7
10	13-11-2020 15:02:21	CRJ9	A	63,3	66,6	76,3
10	13-11-2020 15:05:18	E170	A	63,2	66,8	78,7
10	13-11-2020 15:22:45	SF34	A	60,7	62,1	71,2
10	13-11-2020 16:01:16	E190	A	62,2	64,0	74,5
10	13-11-2020 16:36:57	A332	A	64,1	68,4	80,1
10	13-11-2020 17:04:28	CRJ9	A	61,8	64,5	76,0
10	13-11-2020 17:12:04	F2TH	A	63,1	65,4	75,4
10	13-11-2020 17:38:09	A333	A	68,0	72,2	83,6
10	13-11-2020 17:40:42	E75S	A	61,5	64,0	75,1
10	13-11-2020 18:41:35	DH8D	A	62,7	64,9	75,2
10	13-11-2020 18:46:14	AT75	A	62,2	63,8	72,6
10	13-11-2020 18:51:28	DH8D	A	63,3	65,6	76,3
10	13-11-2020 19:05:28	E195	A	64,0	66,7	78,1
10	13-11-2020 19:44:37	DH8D	A	61,1	63,3	72,3
10	13-11-2020 19:58:01	C680	A	60,9	62,0	69,9
10	13-11-2020 20:07:14	E75S	A	64,1	66,3	76,6
10	13-11-2020 20:19:36	B734	A	64,2	65,8	78,5
10	13-11-2020 20:24:29	E170	A	62,2	64,0	74,2
10	13-11-2020 20:36:20	DH8D	A	63,0	65,7	80,0
10	13-11-2020 20:54:23	E75S	A	62,6	64,6	75,6
10	13-11-2020 20:56:56	E75S	A	64,0	66,7	76,8
10	13-11-2020 20:59:03	E75S	A	63,6	67,3	77,4
10	13-11-2020 21:02:54	E75S	A	63,5	67,2	76,3
10	13-11-2020 21:04:49	E75S	A	63,8	66,6	76,6
10	13-11-2020 21:06:41	E170	A	61,9	63,8	74,9
10	13-11-2020 21:08:29	E190	A	63,1	64,8	75,4
10	13-11-2020 21:10:48	E75S	A	62,9	64,2	74,9
10	13-11-2020 21:16:01	E170	A	61,9	63,5	74,7
10	13-11-2020 21:17:46	E75S	A	61,6	63,1	74,2
10	13-11-2020 21:21:03	E170	A	63,2	64,8	75,0

Nr punktu pomiarowego	Data i godz. zdarzenia	Samolot	Operacja*	L _{Aeq}	L _{Amax}	L _{AE}
				[dB]	[dB]	[dB]
10	13-11-2020 21:22:36	E75S	A	62,2	63,9	75,0
10	13-11-2020 21:24:35	E195	A	63,6	65,3	76,6
10	13-11-2020 21:28:40	B738	A	66,0	69,3	79,6
10	13-11-2020 21:32:50	B738	A	64,5	66,6	78,6
10	13-11-2020 21:49:49	DH8D	A	62,7	65,7	75,7
10	14-11-2020 05:59:55	E190	A	62,4	65,7	77,1
10	14-11-2020 08:40:57	AT75	A	63,7	65,4	74,2
10	14-11-2020 11:24:13	GLF6	A	62,9	64,6	73,3
10	14-11-2020 11:47:17	E75S	A	63,9	65,5	75,1
10	14-11-2020 11:48:52	E75L	A	65,7	68,0	76,2
10	14-11-2020 11:56:31	B788	A	65,1	68,6	81,2
10	14-11-2020 11:58:53	E170	A	64,0	65,3	74,7
10	14-11-2020 12:21:36	E75S	A	62,8	64,7	75,6
10	14-11-2020 12:40:14	B789	A	66,1	68,9	81,0
10	14-11-2020 12:53:14	DH8D	A	63,6	65,8	75,0
10	14-11-2020 12:57:26	DH8D	A	63,7	64,7	75,4
10	14-11-2020 13:09:29	B789	A	65,7	68,0	79,5
10	14-11-2020 13:14:34	DH8D	A	64,0	66,3	76,6
10	14-11-2020 13:25:42	B738	A	66,8	69,2	79,1
10	14-11-2020 13:31:20	DH8D	A	65,0	66,0	76,7
10	14-11-2020 13:35:46	B738	A	66,7	68,9	80,0
10	14-11-2020 13:46:11	B788	A	65,3	67,5	77,3
10	14-11-2020 13:56:06	E75L	A	65,0	66,8	76,1
10	14-11-2020 14:58:06	B738	A	64,1	66,5	78,6
10	14-11-2020 15:08:56	A319	A	63,1	66,0	76,9
10	14-11-2020 16:24:39	A321	A	61,8	63,6	73,0
10	14-11-2020 18:30:44	DH8D	A	64,0	67,6	78,1
10	14-11-2020 18:36:28	DH8D	A	64,5	67,5	78,3
10	14-11-2020 18:38:14	E170	A	62,0	65,6	75,8
10	14-11-2020 18:40:03	E170	A	63,4	66,5	76,4
10	14-11-2020 18:47:46	DH8D	A	61,8	63,0	74,8
10	15-11-2020 08:43:37	DH8D	A	64,1	65,5	75,3
10	15-11-2020 09:07:56	A21N	A	65,2	67,1	75,6
10	15-11-2020 11:09:40	B77W	A	66,8	70,0	81,2
10	15-11-2020 11:12:55	A21N	A	63,8	64,7	73,8
10	15-11-2020 13:09:16	E170	A	63,0	64,0	73,0
10	15-11-2020 13:33:31	E75S	A	64,9	66,3	75,3
10	15-11-2020 13:37:56	E195	A	65,4	66,8	76,5
10	15-11-2020 13:46:01	E75S	A	64,0	64,6	73,0
10	15-11-2020 13:59:46	E75S	A	64,3	65,7	75,4
10	15-11-2020 14:01:32	E75S	A	63,0	66,9	77,0
10	15-11-2020 14:03:58	A20N	A	64,6	66,9	78,0
10	15-11-2020 14:05:38	E170	A	63,8	66,0	76,9
10	15-11-2020 14:08:25	DH8D	A	62,2	63,7	75,6
10	15-11-2020 14:16:58	E190	A	62,9	65,5	77,8
10	15-11-2020 14:27:30	E195	A	64,9	67,5	77,7
10	15-11-2020 14:29:36	E170	A	63,9	66,1	78,2
10	15-11-2020 14:43:38	E75S	A	63,3	64,6	75,3
10	15-11-2020 15:03:39	A20N	A	61,1	63,0	75,7
10	15-11-2020 15:05:32	E170	A	62,5	64,4	75,8
10	15-11-2020 15:41:16	B789	A	64,2	67,3	78,9
10	15-11-2020 15:54:53	CRJ9	A	62,0	63,4	74,3
10	15-11-2020 15:56:42	E75L	A	63,0	64,9	76,0
10	15-11-2020 16:03:12	PC12	A	65,1	67,7	77,4

Nr punktu pomiarowego	Data i godz. zdarzenia	Samolot	Operacja*	L _{Aeq}	L _{Amax}	L _{AE}
				[dB]	[dB]	[dB]
10	15-11-2020 16:25:58	A320	A	62,6	64,5	75,8
10	15-11-2020 16:27:39	E170	A	62,5	64,5	75,9
10	15-11-2020 16:40:07	CRJ9	A	62,5	64,6	76,1
10	15-11-2020 17:41:58	BCS1	A	62,9	64,7	74,9
10	15-11-2020 17:48:17	A320	A	62,2	64,0	75,0
10	15-11-2020 18:17:45	E75S	A	61,4	64,0	74,2
10	15-11-2020 18:28:35	B788	A	63,7	65,8	78,5
10	15-11-2020 18:45:54	DH8D	A	63,4	66,5	77,2
10	15-11-2020 18:56:36	DH8D	A	62,7	64,6	76,3
10	15-11-2020 19:07:55	DH8D	A	62,4	64,8	75,6
10	15-11-2020 19:15:10	E170	A	64,0	67,4	77,5
10	15-11-2020 19:18:12	DH8D	A	64,2	66,9	80,8
10	15-11-2020 19:21:23	E195	A	64,1	66,2	78,0
10	15-11-2020 19:28:23	GLEK	A	62,3	63,5	73,4
10	15-11-2020 20:02:54	E170	A	62,8	64,2	74,5
10	15-11-2020 20:24:53	E170	A	62,5	64,0	75,1
10	15-11-2020 20:28:48	E190	A	62,7	64,7	75,5
10	15-11-2020 20:55:59	E195	A	64,1	67,5	76,9
10	15-11-2020 20:57:52	E75S	A	61,0	61,8	72,1
10	15-11-2020 20:59:53	E75S	A	61,0	62,7	72,7
10	15-11-2020 21:01:56	E75S	A	63,5	65,9	75,8
10	15-11-2020 21:09:43	E75S	A	62,1	63,4	73,6
10	15-11-2020 21:13:01	E75S	A	62,6	65,1	76,6
10	15-11-2020 21:17:31	E75S	A	63,3	66,4	78,4
10	15-11-2020 21:19:54	B738	A	63,9	67,5	78,1
10	15-11-2020 21:22:51	E75S	A	64,4	67,5	79,0
10	15-11-2020 21:24:54	E195	A	62,3	65,4	77,8
10	15-11-2020 21:27:14	E75S	A	62,1	63,6	74,6
10	15-11-2020 21:29:32	B738	A	64,2	66,1	77,4
10	15-11-2020 21:31:14	E195	A	63,0	64,8	76,4
10	15-11-2020 21:57:39	DH8D	A	63,2	68,1	78,7
10	16-11-2020 06:01:59	B738	A	66,4	68,1	77,2
10	16-11-2020 06:06:39	DH8D	A	67,1	69,0	76,7
10	16-11-2020 06:10:54	B738	A	67,2	68,1	76,2
10	16-11-2020 06:27:47	B738	A	66,8	68,3	78,3
10	16-11-2020 08:13:24	A320	A	69,0	71,0	77,5
10	16-11-2020 09:08:58	C295	A	63,0	63,8	73,8
10	16-11-2020 09:10:34	DH8D	A	63,7	64,6	72,8
10	16-11-2020 10:38:00	B789	A	68,0	73,9	82,1
10	16-11-2020 10:53:12	E170	A	64,0	66,8	76,1
10	16-11-2020 11:03:18	DH8D	A	64,1	65,8	76,6
10	16-11-2020 11:33:11	E195	A	65,9	68,0	77,3
10	16-11-2020 11:39:37	E75S	A	66,4	70,6	78,7
10	16-11-2020 11:46:48	E195	A	64,4	66,3	76,4
10	16-11-2020 11:48:43	P180	A	67,1	69,3	81,9
10	16-11-2020 11:50:47	E170	A	63,6	65,1	75,4
10	16-11-2020 11:53:20	E170	A	63,8	65,4	74,2
10	16-11-2020 11:55:24	E75S	A	64,4	66,0	74,4
10	16-11-2020 12:01:17	E75S	A	64,9	66,8	77,5
10	16-11-2020 12:03:25	E75L	A	64,9	66,1	76,3
10	16-11-2020 12:09:13	E190	A	64,2	65,5	75,0
10	16-11-2020 12:13:36	B789	A	65,6	67,3	79,2
10	16-11-2020 12:24:40	E75S	A	64,1	65,7	74,5
10	16-11-2020 12:29:05	E75S	A	65,1	67,6	76,5

Nr punktu pomiarowego	Data i godz. zdarzenia	Samolot	Operacja*	L _{Aeq}	L _{Amax}	L _{AE}
				[dB]	[dB]	[dB]
10	16-11-2020 12:42:07	E170	A	65,1	68,1	80,4
10	16-11-2020 12:51:07	B788	A	64,2	66,9	80,2
10	16-11-2020 13:08:17	DH8D	A	65,3	67,2	79,4
10	16-11-2020 13:12:50	DH8D	A	64,4	66,3	79,4
10	16-11-2020 13:19:41	DH8D	A	63,4	67,4	77,4
10	16-11-2020 13:31:41	B789	A	65,4	67,5	79,8
10	16-11-2020 13:37:33	B738	A	65,1	68,0	77,1
10	16-11-2020 13:42:16	DH8D	A	66,1	68,2	79,1
10	16-11-2020 13:50:00	E75L	A	64,9	66,5	74,9
10	16-11-2020 14:12:38	E195	A	64,0	66,9	78,9
10	16-11-2020 14:14:14	DH8D	A	63,8	66,9	77,6
10	16-11-2020 15:14:08	A319	A	62,6	65,9	78,4
10	16-11-2020 16:09:12	E190	A	64,0	66,5	78,8
10	16-11-2020 16:46:41	GL5T	A	64,4	67,5	76,7
10	16-11-2020 17:04:27	CRJ9	A	60,8	62,0	74,6
10	16-11-2020 18:16:30	E195	A	62,6	65,6	76,8
10	16-11-2020 18:30:14	E75S	A	62,0	63,1	74,6
10	16-11-2020 18:34:28	E170	A	62,4	65,3	75,4
10	16-11-2020 18:40:05	E75S	A	62,2	64,4	74,2
10	16-11-2020 18:42:01	AT75	A	61,6	63,2	72,4
10	16-11-2020 18:43:51	E75S	A	63,0	64,8	75,0
10	16-11-2020 18:45:37	DH8D	A	63,1	65,4	75,6
10	16-11-2020 18:47:49	DH8D	A	62,8	64,5	73,6
10	16-11-2020 18:49:27	DH8D	A	61,3	63,0	73,8
10	16-11-2020 18:51:16	DH8D	A	63,3	65,1	75,3
10	16-11-2020 18:55:00	DH8D	A	61,2	63,9	74,9
10	16-11-2020 18:58:07	DH8D	A	60,4	62,7	71,8
10	16-11-2020 19:03:41	E195	A	64,0	66,7	76,1
10	16-11-2020 19:08:59	E170	A	63,0	65,6	75,6
10	16-11-2020 19:14:44	E75S	A	63,0	65,6	75,8
10	16-11-2020 19:20:38	E170	A	63,6	65,4	75,6
10	16-11-2020 19:24:57	E75S	A	62,3	65,1	74,6
10	16-11-2020 19:35:25	E75S	A	62,7	65,3	75,5
10	16-11-2020 19:39:12	E75S	A	63,3	66,9	75,8
10	16-11-2020 19:42:56	W3	A	67,3	71,4	83,3
10	16-11-2020 20:03:51	E75S	A	64,6	67,6	76,6
10	16-11-2020 20:16:21	P180	A	64,5	68,6	79,8
10	16-11-2020 20:32:50	E170	A	62,8	66,4	75,8
10	16-11-2020 20:34:45	B734	A	65,5	68,7	78,7
10	16-11-2020 21:02:26	E75S	A	61,8	64,3	73,3
10	16-11-2020 21:11:05	E195	A	63,5	66,3	75,6
10	16-11-2020 21:40:28	DH8D	A	63,4	67,2	75,7
10	17-11-2020 06:10:57	E190	D	67,9	69,6	80,4
10	17-11-2020 07:29:41	E170	D	67,9	69,6	76,9
10	17-11-2020 08:22:36	E195	D	65,8	68,1	80,6
10	17-11-2020 12:34:46	A21N	D	63,8	66,4	75,2
10	17-11-2020 12:46:33	E75L	D	64,7	69,9	78,8
10	17-11-2020 14:24:58	B789	D	60,5	63,5	73,3
10	17-11-2020 15:13:34	AT75	D	60,1	62,1	72,9
10	17-11-2020 16:01:36	E195	D	66,8	72,8	81,8
10	17-11-2020 16:53:00	E75S	D	61,4	63,3	76,3
10	17-11-2020 18:07:10	DH8D	D	61,7	63,7	74,9
10	17-11-2020 21:12:42	AT72	D	60,9	62,2	73,9
10	17-11-2020 21:20:40	B752	D	62,7	66,7	79,2

Nr punktu pomiarowego	Data i godz. zdarzenia	Samolot	Operacja*	L _{Aeq}	L _{Amax}	L _{AE}
				[dB]	[dB]	[dB]
10	17-11-2020 21:45:16	B734	D	67,4	72,2	83,7
10	17-11-2020 21:56:26	A306	D	68,6	74,4	86,0
10	18-11-2020 06:22:58	E75L	D	66,8	69,2	78,9
10	18-11-2020 09:32:51	E75S	D	65,1	66,0	78,9
10	18-11-2020 09:54:33	E170	D	64,0	64,7	75,4
10	18-11-2020 10:09:11	E75S	D	65,2	68,6	82,3
10	18-11-2020 10:24:30	E75S	D	69,7	74,0	84,6
10	18-11-2020 10:28:22	E75S	D	66,0	72,6	81,4
10	18-11-2020 10:46:56	E195	D	63,6	64,5	72,7
10	18-11-2020 11:48:53	E195	D	74,0	78,9	85,7
10	18-11-2020 12:02:00	DH8D	D	66,2	68,0	76,2
10	18-11-2020 12:40:33	E75L	D	64,4	66,8	78,2
10	18-11-2020 14:06:46	GLF5	D	61,3	63,1	70,9
10	18-11-2020 16:00:26	B738	D	72,6	78,6	91,9
10	18-11-2020 16:16:51	GL5T	D	61,1	63,4	75,0
10	18-11-2020 16:18:52	A319	D	63,9	68,4	79,4
10	18-11-2020 16:32:05	E75S	D	61,8	65,5	77,8
10	18-11-2020 16:36:44	E170	D	65,6	69,5	81,2
10	18-11-2020 16:38:19	DH8D	D	68,0	74,9	81,8
10	18-11-2020 16:42:02	E75S	D	64,0	67,0	79,2
10	18-11-2020 16:44:26	E170	D	63,8	67,6	79,8
10	18-11-2020 16:58:22	E75S	D	65,0	70,0	80,8
10	18-11-2020 17:04:01	E195	D	65,6	70,0	80,4
10	18-11-2020 17:10:44	E75S	D	64,0	68,4	79,6
10	18-11-2020 17:12:25	E170	D	64,6	68,9	80,0
10	18-11-2020 17:13:55	E75S	D	62,0	65,3	76,6
10	18-11-2020 17:15:54	E75S	D	61,8	64,5	77,2
10	18-11-2020 18:43:15	DH8D	D	61,8	63,8	75,3
10	18-11-2020 18:48:31	DH8D	A	63,7	65,7	76,0
10	18-11-2020 19:04:15	ATP	D	62,3	64,5	75,1
10	18-11-2020 19:33:24	AT75	A	62,3	64,6	75,0
10	18-11-2020 20:09:26	B734	A	63,9	68,5	79,1
10	18-11-2020 20:14:08	B738	A	63,4	66,0	78,1
10	18-11-2020 20:19:27	E170	A	62,0	64,1	75,3
10	18-11-2020 20:50:40	E75S	A	61,3	63,4	76,6
10	18-11-2020 20:52:37	DH8D	A	62,5	64,5	76,1
10	18-11-2020 20:55:44	E75S	A	62,6	65,6	76,4
10	18-11-2020 21:02:19	E170	A	63,5	67,0	77,1
10	18-11-2020 21:04:11	E75S	A	61,8	64,7	76,2
10	18-11-2020 21:06:58	E75S	A	62,0	64,9	75,4
10	18-11-2020 21:10:31	E75S	A	61,4	63,7	75,2
10	18-11-2020 21:14:34	E75S	A	62,3	64,2	75,1
10	18-11-2020 21:16:17	E195	A	62,3	66,3	79,7
10	18-11-2020 21:18:07	E170	A	61,6	64,4	75,7
10	18-11-2020 21:21:39	E75S	A	61,4	63,4	75,2
10	18-11-2020 21:23:51	E75S	A	61,6	63,7	75,0
10	18-11-2020 21:26:10	B738	A	64,5	67,7	77,9
10	18-11-2020 21:35:26	E170	A	62,7	66,2	76,5
10	19-11-2020 08:48:45	C295	A	64,8	66,3	76,8
10	19-11-2020 08:55:51	C295	A	67,3	72,9	79,1
10	19-11-2020 09:09:52	P180	A	67,5	72,7	82,8
10	19-11-2020 09:15:25	DH8D	A	66,6	70,3	81,0
10	19-11-2020 10:25:58	A21N	A	63,7	66,1	75,1
10	19-11-2020 10:47:59	E75S	A	65,4	67,7	76,8

Nr punktu pomiarowego	Data i godz. zdarzenia	Samolot	Operacja*	L _{Aeq}	L _{Amax}	L _{AE}
				[dB]	[dB]	[dB]
10	19-11-2020 11:32:11	E75S	A	65,3	69,8	78,7
10	19-11-2020 11:36:37	E75S	A	65,2	67,9	77,2
10	19-11-2020 11:38:32	E190	A	65,7	70,2	77,7
10	19-11-2020 11:41:09	E195	A	65,1	66,7	76,3
10	19-11-2020 11:51:14	E170	A	65,8	67,4	77,2
10	19-11-2020 11:57:15	E170	A	64,0	66,7	76,5
10	19-11-2020 11:59:05	E75S	A	65,0	67,1	76,2
10	19-11-2020 12:47:18	E190	D	67,6	72,4	83,7
10	19-11-2020 13:29:27	E195	D	64,5	67,5	77,3
10	19-11-2020 15:30:38	B77W	D	62,8	64,6	76,2
10	19-11-2020 15:46:32	E75S	D	61,7	67,3	76,7
10	19-11-2020 15:48:37	E75S	D	61,3	64,2	76,4
10	19-11-2020 15:55:00	E75S	D	63,8	69,1	78,3
10	19-11-2020 15:56:47	E195	D	64,4	69,5	80,3
10	19-11-2020 16:02:15	E170	D	61,0	62,7	73,6
10	19-11-2020 16:04:14	E195	D	62,8	65,8	77,9
10	19-11-2020 16:06:02	E170	D	60,5	64,4	76,0
10	19-11-2020 16:16:52	E170	D	60,2	63,0	75,8
10	19-11-2020 16:53:05	E195	D	61,7	66,3	76,7
10	19-11-2020 17:41:37	A21N	D	66,8	70,4	80,8
10	19-11-2020 21:22:32	B763	D	67,4	71,7	83,2
10	19-11-2020 21:45:20	B734	D	65,1	69,8	81,7
10	19-11-2020 21:56:57	A306	D	68,2	73,4	84,4
10	20-11-2020 06:07:09	E190	D	67,4	70,2	81,0
10	20-11-2020 07:07:08	A319	D	68,1	70,4	78,1
10	20-11-2020 10:27:31	E75S	D	63,5	66,0	79,7
10	20-11-2020 10:38:23	E170	D	64,1	65,9	77,6
10	20-11-2020 10:54:11	DH8D	D	64,1	65,8	80,0
10	20-11-2020 11:06:25	DH8D	D	64,2	66,1	75,4
10	20-11-2020 12:47:50	E75L	D	67,8	73,3	82,6
10	20-11-2020 13:25:09	E75S	D	62,7	67,0	76,5
10	20-11-2020 15:53:11	B738	D	65,9	68,9	82,5
10	20-11-2020 16:20:51	DH8D	D	60,5	61,5	71,9
10	20-11-2020 16:25:44	DH8D	D	63,3	65,9	77,9
10	20-11-2020 16:31:41	A319	D	64,0	68,0	80,4
10	20-11-2020 16:35:26	DH8D	D	63,5	68,2	80,4
10	20-11-2020 16:40:25	E170	D	63,6	67,9	80,1
10	20-11-2020 16:44:06	DH8D	D	60,8	62,1	73,6
10	20-11-2020 16:49:31	DH8D	D	62,2	65,8	77,0
10	20-11-2020 16:57:12	E75S	D	63,1	67,2	79,3
10	20-11-2020 17:01:19	E170	D	64,4	69,4	81,4
10	20-11-2020 17:11:31	E75S	D	64,5	74,2	81,0
10	20-11-2020 17:14:11	E75S	D	62,7	65,8	78,3
10	20-11-2020 17:16:09	E170	D	63,5	67,5	78,4
10	20-11-2020 17:21:01	E75S	D	63,4	67,8	79,8
10	20-11-2020 17:24:42	E170	D	62,5	66,2	78,6
10	20-11-2020 17:29:52	E75S	D	64,1	67,9	80,2
10	20-11-2020 17:44:50	FA7X	D	62,9	65,4	78,1
10	20-11-2020 17:55:30	E170	D	61,2	62,1	73,0
10	20-11-2020 18:13:37	DH8D	D	60,7	62,1	74,1
10	20-11-2020 18:16:53	DH8D	D	60,6	61,8	71,8
10	20-11-2020 18:21:07	CL30	D	60,3	63,1	72,1
10	20-11-2020 21:39:18	B734	D	67,7	71,9	83,9
10	20-11-2020 21:42:21	B762	D	67,8	72,2	83,7

Nr punktu pomiarowego	Data i godz. zdarzenia	Samolot	Operacja*	L _{Aeq}	L _{Amax}	L _{AE}
				[dB]	[dB]	[dB]
10	20-11-2020 21:47:50	A306	D	68,2	72,7	85,3
10	21-11-2020 10:13:15	P180	D	64,5	66,7	76,2
10	21-11-2020 12:19:33	B738	D	65,2	69,5	80,8
10	21-11-2020 12:31:05	A21N	D	66,1	71,4	79,9
10	21-11-2020 12:52:42	E190	D	66,1	68,5	78,9
10	21-11-2020 15:47:55	E75S	D	62,1	64,9	75,9
10	21-11-2020 15:50:06	E170	D	62,3	66,2	77,9
10	21-11-2020 16:10:41	A319	D	62,3	66,5	76,8
10	21-11-2020 16:16:10	E170	D	60,8	62,6	72,6
10	21-11-2020 16:32:55	DH8D	D	60,0	61,2	70,0
10	21-11-2020 20:17:21	E170	A	63,5	67,1	75,5
10	22-11-2020 07:09:24	A319	D	66,5	69,2	76,1
10	22-11-2020 08:57:25	B738	D	64,4	67,4	78,0
10	22-11-2020 09:15:57	B738	D	65,9	69,7	79,3
10	22-11-2020 10:36:44	B788	D	63,5	65,2	76,5
10	22-11-2020 10:41:38	E195	D	64,0	66,8	75,1
10	22-11-2020 10:59:54	DH8D	D	64,7	66,2	73,7
10	22-11-2020 12:12:46	E190	D	65,0	66,7	74,5
10	22-11-2020 13:25:10	B789	D	66,0	69,8	77,8
10	22-11-2020 13:27:26	E195	D	64,6	69,6	80,0
10	22-11-2020 14:14:37	B77W	D	65,9	70,2	82,2
10	22-11-2020 16:10:29	B738	D	63,9	67,7	80,0
10	22-11-2020 16:37:21	E195	D	60,8	64,9	74,6
10	22-11-2020 16:43:29	E75S	D	61,7	64,7	75,1
10	22-11-2020 16:45:20	E170	D	61,8	65,1	75,9
10	22-11-2020 16:51:01	E75L	D	62,7	65,9	76,7
10	22-11-2020 17:09:55	E170	D	64,4	67,5	80,8
10	22-11-2020 17:16:31	E75S	D	62,7	66,9	77,8
10	22-11-2020 17:18:09	E170	D	64,5	68,5	80,0
10	22-11-2020 17:20:03	E170	D	62,7	66,0	79,1
10	22-11-2020 17:21:44	E75S	D	59,6	61,4	71,9
10	22-11-2020 17:23:42	E75S	D	62,7	68,6	77,6
10	22-11-2020 17:25:53	E170	D	61,0	64,5	73,0
10	22-11-2020 17:28:53	E195	D	64,7	69,9	81,1
10	22-11-2020 17:40:40	A21N	D	61,9	66,3	77,1
10	22-11-2020 19:02:01	E290	D	60,0	61,4	70,0
10	22-11-2020 19:26:12	DH8D	D	61,2	66,4	73,2
10	22-11-2020 21:08:47	AT75	D	65,5	71,1	81,6
10	23-11-2020 07:31:19	E170	D	65,5	67,2	75,5
10	23-11-2020 07:54:23	B738	D	67,9	70,6	79,6
10	23-11-2020 08:09:18	E75S	D	64,8	66,6	75,9
10	23-11-2020 11:01:43	DH8D	D	71,8	75,4	91,3
10	23-11-2020 12:49:07	E75L	D	64,3	67,6	80,3
10	23-11-2020 14:21:08	E75S	D	61,9	65,9	76,5
10	23-11-2020 14:43:09	GLF5	D	62,6	66,3	77,1
10	23-11-2020 14:55:46	E170	D	61,6	65,6	77,9
10	23-11-2020 15:06:19	B738	D	62,2	65,2	78,1
10	23-11-2020 15:26:22	A320	D	62,4	67,2	72,8
10	23-11-2020 15:40:37	E75S	D	66,2	72,3	83,1
10	23-11-2020 15:55:38	E75S	D	62,0	65,2	77,6
10	23-11-2020 15:58:06	E75S	D	61,8	65,2	79,1
10	23-11-2020 16:02:57	E170	D	61,9	64,1	74,9
10	23-11-2020 16:12:22	E75S	D	63,1	66,9	78,6
10	23-11-2020 16:45:57	E75S	D	64,0	67,4	80,1

Nr punktu pomiarowego	Data i godz. zdarzenia	Samolot	Operacja*	L _{Aeq}	L _{Amax}	L _{AE}
				[dB]	[dB]	[dB]
10	23-11-2020 21:24:41	B752	D	65,5	71,0	83,4
10	23-11-2020 21:58:31	B752	D	64,0	68,3	81,1
10	24-11-2020 06:09:35	E190	D	66,6	67,8	76,1
10	24-11-2020 07:33:34	E170	D	67,7	70,1	79,2
10	24-11-2020 08:41:12	C130	D	67,3	74,7	83,1
10	24-11-2020 13:28:24	E75S	D	64,3	66,1	74,3
10	24-11-2020 14:01:30	B789	D	59,0	60,5	70,8
10	24-11-2020 14:08:48	B738	D	63,1	69,2	79,5
10	24-11-2020 15:50:43	B738	D	66,3	70,8	83,1
10	24-11-2020 16:58:40	E75S	D	61,3	64,6	73,7
10	24-11-2020 17:06:49	E75L	D	63,3	65,7	78,7
10	24-11-2020 18:02:41	DH8D	D	60,0	60,7	71,2
10	24-11-2020 21:43:56	B734	D	66,4	72,3	82,9
10	24-11-2020 21:59:26	A306	D	67,0	71,1	84,7
10	25-11-2020 06:40:29	E190	D	69,4	72,0	82,9
10	25-11-2020 09:23:18	E75S	D	64,6	66,5	79,5
10	25-11-2020 09:31:02	B738	D	65,0	67,4	82,2
10	25-11-2020 10:22:55	E170	D	62,5	63,9	73,3
10	25-11-2020 10:28:09	E75S	D	63,2	64,0	77,8
10	25-11-2020 12:12:56	E195	D	66,3	68,3	75,4
10	25-11-2020 12:45:46	E75L	D	63,3	64,9	76,1
10	25-11-2020 13:11:54	B77W	D	66,5	68,7	82,2
10	25-11-2020 14:56:57	B738	D	63,9	67,9	79,7
10	25-11-2020 16:07:19	B738	D	67,0	71,7	84,1
10	25-11-2020 16:38:56	E75S	D	63,6	67,8	81,2
10	25-11-2020 16:40:52	E75S	D	62,5	66,3	80,2
10	25-11-2020 16:44:05	E75L	D	64,6	67,2	79,4
10	25-11-2020 16:45:29	E75S	D	63,2	67,7	79,4
10	25-11-2020 16:47:13	E170	D	64,0	67,0	79,9
10	25-11-2020 16:53:15	E170	D	64,1	67,9	79,4
10	25-11-2020 17:06:08	E75S	D	64,4	68,7	80,5
10	25-11-2020 17:09:37	E75S	D	64,4	68,2	79,6
10	25-11-2020 18:01:02	DH8D	D	60,3	60,9	69,4
10	25-11-2020 18:46:45	DH8D	A	62,1	64,0	74,7
10	25-11-2020 19:01:19	DH8D	A	62,5	64,2	74,6
10	25-11-2020 19:06:06	B738	A	61,4	63,8	69,2
10	25-11-2020 19:14:02	A19N	A	62,7	64,4	75,9
10	25-11-2020 19:23:11	AT75	A	61,0	61,7	73,3
10	25-11-2020 20:19:49	B734	A	65,3	68,4	79,5
10	25-11-2020 20:48:47	DH8D	A	62,8	64,5	75,1
10	25-11-2020 20:55:39	E190	A	63,0	65,1	76,3
10	25-11-2020 20:58:50	E75S	A	62,5	64,7	75,5
10	25-11-2020 21:01:38	E75S	A	63,2	66,1	76,7
10	25-11-2020 21:04:58	E75S	A	62,0	64,5	74,3
10	25-11-2020 21:08:05	E195	A	63,5	65,2	77,3
10	25-11-2020 21:10:07	E170	A	61,5	63,7	75,1
10	25-11-2020 21:14:01	E170	A	63,7	66,4	75,5
10	25-11-2020 21:24:12	E190	A	63,9	66,6	77,1
10	25-11-2020 21:25:49	E75S	A	62,0	63,6	75,7
10	25-11-2020 21:27:43	E75S	A	63,0	65,4	75,7
10	25-11-2020 21:41:32	E75S	A	63,6	65,8	77,0
10	25-11-2020 21:46:52	B738	A	64,4	67,2	78,2
10	26-11-2020 07:03:48	B738	D	68,1	70,3	82,3
10	26-11-2020 07:43:11	E75S	D	66,9	68,3	75,9

Nr punktu pomiarowego	Data i godz. zdarzenia	Samolot	Operacja*	L _{Aeq}	L _{Amax}	L _{AE}
				[dB]	[dB]	[dB]
10	26-11-2020 08:02:16	B738	D	65,3	68,1	80,4
10	26-11-2020 08:04:05	B738	D	66,5	69,8	82,1
10	26-11-2020 08:05:57	E170	D	64,5	67,5	79,1
10	26-11-2020 08:13:10	E75S	D	64,7	67,6	78,8
10	26-11-2020 08:23:01	E195	D	65,6	69,3	78,8
10	26-11-2020 10:49:56	B763	D	65,5	68,1	79,5
10	26-11-2020 13:25:32	E75S	D	63,4	64,8	74,2
10	26-11-2020 14:55:22	B738	D	62,4	64,9	77,0
10	26-11-2020 15:29:08	E195	D	62,0	63,5	74,1
10	26-11-2020 15:43:31	E75S	D	60,7	62,6	71,8
10	26-11-2020 15:45:07	E170	D	60,5	62,8	71,3
10	26-11-2020 15:54:07	E75S	D	60,0	61,4	70,8
10	26-11-2020 15:56:35	E75S	D	61,2	63,5	74,8
10	26-11-2020 16:02:49	E190	D	63,0	66,0	77,2
10	26-11-2020 16:08:07	E195	D	62,0	64,7	74,3
10	26-11-2020 16:13:44	E75S	D	60,5	62,9	70,9
10	26-11-2020 16:19:14	E75S	D	61,2	63,5	73,0
10	26-11-2020 16:53:57	E75L	D	62,7	65,0	77,4
10	26-11-2020 16:58:04	DH8D	D	62,1	65,1	72,1
10	26-11-2020 17:19:26	B77W	D	62,0	65,7	75,8
10	26-11-2020 17:54:41	A21N	D	60,8	63,6	74,4
10	26-11-2020 18:12:25	E195	D	61,4	63,8	74,9
10	26-11-2020 19:05:39	ATP	D	61,5	64,6	70,5
10	26-11-2020 21:23:55	B762	D	62,4	67,0	78,3
10	26-11-2020 21:49:36	B734	D	65,8	71,7	81,8
10	26-11-2020 21:59:44	A306	D	66,5	71,2	84,0
10	27-11-2020 09:35:38	E75S	D	63,3	65,6	74,5
10	27-11-2020 09:56:23	E170	D	65,6	68,6	79,9
10	27-11-2020 10:11:35	E195	D	63,7	65,9	72,8
10	27-11-2020 10:53:26	E170	D	63,0	64,2	73,5
10	27-11-2020 10:57:23	E195	D	63,2	64,6	74,7
10	27-11-2020 11:00:08	E195	D	66,4	69,1	77,2
10	27-11-2020 12:07:52	W3	A	67,4	70,5	82,9
10	27-11-2020 13:01:49	E75L	D	65,7	69,6	81,6
10	27-11-2020 13:18:46	B77W	D	67,1	72,0	81,7
10	27-11-2020 13:24:30	E75S	D	63,6	65,9	75,1
10	27-11-2020 16:03:57	A19N	D	61,3	64,3	76,3
10	27-11-2020 16:06:16	B738	D	65,9	69,8	82,8
10	27-11-2020 16:35:29	DH8D	D	60,2	61,8	71,3
10	27-11-2020 16:39:33	E170	D	63,7	67,1	80,2
10	27-11-2020 16:44:32	E75S	D	64,5	68,4	81,0
10	27-11-2020 16:46:23	E195	D	63,5	67,2	78,6
10	27-11-2020 16:48:04	E195	D	64,7	67,3	80,2
10	27-11-2020 16:52:14	E75L	D	65,0	70,1	81,9
10	27-11-2020 16:58:54	B738	D	65,8	71,5	82,2
10	27-11-2020 17:00:35	E195	D	62,3	65,8	75,8
10	27-11-2020 17:01:43	E170	D	63,0	66,1	78,1
10	27-11-2020 17:08:30	E170	D	63,8	68,0	78,9
10	27-11-2020 17:15:07	E170	D	63,7	67,6	78,9
10	27-11-2020 17:26:13	E75S	D	63,7	68,3	79,4
10	27-11-2020 17:32:27	E75S	D	63,8	68,1	80,7
10	27-11-2020 17:56:58	E170	D	62,9	67,8	79,0
10	27-11-2020 18:10:07	DH8D	D	60,5	62,5	72,5
10	27-11-2020 19:45:00	A333	D	66,6	71,5	83,5

Nr punktu pomiarowego	Data i godz. zdarzenia	Samolot	Operacja*	L _{Aeq}	L _{Amax}	L _{AE}
				[dB]	[dB]	[dB]
10	27-11-2020 21:16:37	B763	D	65,9	70,4	82,7
10	27-11-2020 21:47:32	B734	D	66,4	72,1	81,9
10	28-11-2020 10:52:51	E195	D	66,7	70,5	76,7
10	28-11-2020 12:29:18	A21N	D	65,8	70,3	80,4
10	28-11-2020 15:54:26	E170	D	63,6	66,6	79,0
10	28-11-2020 15:56:29	E75S	D	62,7	66,1	77,9
10	28-11-2020 15:57:49	E170	D	62,6	65,5	77,9
10	28-11-2020 15:59:26	E75S	D	62,9	66,6	77,2
10	28-11-2020 16:01:03	E75S	D	62,2	65,3	77,7
10	28-11-2020 16:30:03	B738	D	63,5	67,5	79,7
10	28-11-2020 16:35:43	DH8D	D	61,4	63,1	74,0
10	28-11-2020 17:03:06	E190	D	66,1	69,9	81,2
10	29-11-2020 06:19:24	E190	D	66,8	70,7	78,5
10	29-11-2020 07:26:00	A319	D	67,1	67,6	76,1
10	29-11-2020 08:14:11	B738	D	68,2	71,7	82,2
10	29-11-2020 09:01:33	B738	D	68,5	72,8	85,1
10	29-11-2020 09:17:39	B738	D	67,0	71,1	83,1
10	29-11-2020 09:31:02	E75S	D	63,9	66,5	77,4
10	29-11-2020 10:31:28	A21N	D	66,5	70,8	80,5
10	29-11-2020 10:32:58	E170	D	64,2	67,6	77,5
10	29-11-2020 10:46:14	E195	D	64,8	67,2	75,6
10	29-11-2020 11:42:23	E75S	D	62,7	64,3	73,2
10	29-11-2020 12:09:51	E190	D	63,7	65,1	72,7
10	29-11-2020 13:23:39	E195	D	65,9	68,6	76,3
10	29-11-2020 15:41:11	A20N	D	61,6	64,5	74,0
10	29-11-2020 16:07:36	B738	D	66,0	71,1	84,3
10	29-11-2020 16:27:33	DH8D	D	60,8	61,8	73,1
10	29-11-2020 16:34:31	E170	D	65,2	68,5	79,5
10	29-11-2020 16:36:53	DH8D	D	59,7	61,1	72,0
10	29-11-2020 16:38:20	E75S	D	64,0	66,5	78,7
10	29-11-2020 16:52:01	E170	D	63,0	65,7	77,0
10	29-11-2020 16:54:19	E170	D	64,3	68,0	79,8
10	29-11-2020 17:09:31	E195	D	64,4	69,4	79,4
10	29-11-2020 17:10:41	E75L	D	65,0	69,1	81,6
10	29-11-2020 17:13:14	E170	D	63,4	68,1	79,2
10	29-11-2020 17:17:08	E75S	D	63,9	66,8	79,5
10	29-11-2020 17:18:46	E75S	D	63,9	68,5	79,9
10	29-11-2020 17:29:32	E170	D	64,3	68,4	80,3
10	29-11-2020 17:51:20	A21N	D	66,1	69,5	81,0
10	29-11-2020 18:14:33	DH8D	D	61,1	62,3	72,3
10	29-11-2020 19:05:44	BCS3	D	61,4	63,2	75,4
10	29-11-2020 19:31:35	A21N	D	60,9	62,4	74,1
10	29-11-2020 19:32:40	DH8D	D	60,5	61,7	72,0
10	30-11-2020 06:38:34	E190	D	68,3	70,2	80,6
10	30-11-2020 13:18:48	GLF5	D	64,1	67,2	79,0
10	30-11-2020 13:45:59	E75S	D	64,4	66,4	76,1
10	30-11-2020 15:51:59	E75S	D	62,6	65,2	76,0
10	30-11-2020 15:53:54	E75S	D	62,5	65,0	77,7
10	30-11-2020 15:57:07	E170	D	62,1	64,2	77,5
10	30-11-2020 16:03:48	B738	D	65,7	71,4	82,8
10	30-11-2020 16:08:12	E170	D	61,7	64,3	75,6
10	30-11-2020 16:12:58	C25B	D	62,0	64,8	73,8
10	30-11-2020 16:16:06	E195	D	62,8	66,7	76,4
10	30-11-2020 16:30:42	DH8D	D	59,9	61,2	71,0

Nr punktu pomiarowego	Data i godz. zdarzenia	Samolot	Operacja*	L _{Aeq}	L _{Amax}	L _{AE}
				[dB]	[dB]	[dB]
10	30-11-2020 16:33:10	DH8D	D	63,6	67,7	80,1
10	30-11-2020 16:44:39	E75S	D	62,1	65,3	75,3
10	30-11-2020 16:53:09	E170	D	69,2	73,7	83,8
10	30-11-2020 17:16:52	E190	D	65,7	69,0	80,3
10	30-11-2020 18:05:37	DH8D	D	60,8	63,4	69,9
10	30-11-2020 21:35:13	B752	D	65,3	68,4	81,5
10	30-11-2020 21:45:01	B734	D	68,2	72,8	84,2
10	30-11-2020 21:56:03	DH8D	A	62,2	63,9	75,0

Zestawienie zdarzeń akustycznych spowodowanych przelotami statków powietrznych w porze nocy (przedział czasu pomiędzy godz. 22.00 – 06.00)

Nr punktu pomiarowego	Data i godz. zdarzenia	Samolot	Operacja*	L _{Aeq}	L _{Amax}	L _{AE}
				[dB]	[dB]	[dB]
10	01-11-2020 22:14:46	A21N	A	60,4	63,2	74,6
10	01-11-2020 22:24:19	A21N	A	60,7	68,0	75,5
10	01-11-2020 22:44:13	A321	A	60,9	63,5	74,9
10	01-11-2020 22:56:20	A20N	A	61,6	64,8	75,8
10	01-11-2020 23:04:23	E190	A	63,4	67,4	78,5
10	02-11-2020 05:18:50	B752	A	63,0	65,8	77,4
10	02-11-2020 05:34:46	B752	A	64,9	68,8	80,0
10	02-11-2020 05:42:58	B734	A	65,4	69,0	80,3
10	02-11-2020 05:44:57	E190	A	63,0	65,8	77,3
10	02-11-2020 22:17:27	A21N	A	60,1	62,4	72,4
10	02-11-2020 22:35:02	A21N	A	60,4	62,4	72,5
10	02-11-2020 22:45:56	A319	A	61,7	63,5	74,4
10	02-11-2020 23:03:41	E75L	A	63,3	66,4	78,9
10	03-11-2020 22:17:55	A306	D	68,9	74,4	86,9
10	03-11-2020 22:45:15	A21N	A	62,0	63,6	75,2
10	03-11-2020 23:06:12	DH8D	D	59,1	60,2	71,7
10	03-11-2020 23:09:13	DH8D	D	59,2	60,9	72,6
10	03-11-2020 23:10:58	DH8D	D	58,3	59,3	70,3
10	03-11-2020 23:13:09	E170	D	61,8	66,7	77,8
10	04-11-2020 22:06:56	A306	D	69,0	74,3	86,9
10	04-11-2020 23:02:50	E170	D	61,3	64,3	78,3
10	04-11-2020 23:05:52	DH8D	D	58,6	60,6	72,8
10	04-11-2020 23:10:35	DH8D	D	58,3	59,2	70,4
10	04-11-2020 23:16:02	E170	D	60,6	64,2	77,0
10	04-11-2020 23:19:17	DH8D	D	59,0	60,2	71,5
10	04-11-2020 23:20:52	DH8D	D	58,6	60,0	70,6
10	05-11-2020 22:25:47	A306	D	64,8	69,9	83,0
10	05-11-2020 23:02:07	E170	D	59,6	62,2	74,4
10	06-11-2020 22:06:49	LJ60	D	58,4	59,4	69,5
10	06-11-2020 22:08:26	A306	D	67,1	71,5	83,0
10	06-11-2020 22:22:11	B738	D	60,0	64,0	75,9
10	06-11-2020 23:18:00	E170	D	58,5	60,7	69,6
10	07-11-2020 22:28:49	B738	A	61,9	63,9	74,0
10	07-11-2020 22:47:18	A319	A	60,0	61,9	70,8
10	07-11-2020 23:01:16	E75L	A	58,4	59,3	69,5
10	08-11-2020 22:04:37	A21N	A	63,5	68,0	78,0
10	08-11-2020 22:57:47	A320	A	62,0	65,3	77,3
10	08-11-2020 23:02:16	E190	A	62,8	66,2	77,3

Nr punktu pomiarowego	Data i godz. zdarzenia	Samolot	Operacja*	L _{Aeq}	L _{Amax}	L _{AE}
				[dB]	[dB]	[dB]
10	09-11-2020 05:29:25	B752	A	64,7	69,7	80,6
10	09-11-2020 05:32:18	B752	A	63,9	67,4	79,1
10	09-11-2020 05:56:39	E190	A	62,7	66,8	78,8
10	09-11-2020 22:37:38	A319	A	62,6	65,4	77,7
10	09-11-2020 23:05:34	E75L	A	64,2	67,3	78,3
10	10-11-2020 05:37:38	B763	A	66,6	71,4	81,9
10	10-11-2020 05:42:10	ATP	A	62,2	67,4	78,0
10	10-11-2020 05:51:17	A306	A	65,4	69,1	81,8
10	10-11-2020 05:54:36	E190	A	62,4	67,2	79,8
10	10-11-2020 05:56:39	A21N	A	61,6	65,7	77,6
10	10-11-2020 22:10:02	A321	A	61,3	64,4	75,8
10	10-11-2020 22:35:31	A20N	A	61,7	64,4	77,0
10	10-11-2020 22:58:44	E190	A	63,1	67,1	77,1
10	11-11-2020 22:48:43	A20N	A	62,5	66,0	77,9
10	11-11-2020 23:07:46	E75L	A	62,7	66,2	78,9
10	12-11-2020 05:37:40	B763	A	67,4	73,7	83,5
10	12-11-2020 05:41:07	ATP	A	63,9	68,0	79,1
10	12-11-2020 05:44:45	A306	A	65,1	69,1	80,9
10	12-11-2020 05:55:18	E190	A	61,3	65,8	77,3
10	12-11-2020 22:29:36	B789	A	63,8	69,3	80,7
10	12-11-2020 22:34:24	A21N	A	62,7	65,6	76,5
10	12-11-2020 22:43:44	A20N	A	61,6	65,7	76,5
10	12-11-2020 23:00:42	E75L	A	62,8	65,5	76,6
10	13-11-2020 05:38:40	B763	A	65,2	69,6	81,9
10	13-11-2020 05:47:31	A306	A	64,9	68,6	81,6
10	13-11-2020 05:50:03	ATP	A	65,7	70,7	81,9
10	13-11-2020 22:14:29	B789	A	64,1	68,5	79,9
10	13-11-2020 22:59:24	E190	A	64,2	67,0	78,0
10	14-11-2020 05:52:16	A21N	A	62,0	64,3	75,6
10	14-11-2020 22:28:11	B738	A	64,5	67,4	78,5
10	14-11-2020 22:35:02	A21N	A	60,7	62,5	73,2
10	14-11-2020 22:40:49	A20N	A	63,0	65,2	76,6
10	14-11-2020 22:55:16	E190	A	62,6	65,4	76,0
10	15-11-2020 22:02:03	A21N	A	61,1	64,6	76,1
10	15-11-2020 22:17:45	E190	A	62,4	65,5	77,6
10	15-11-2020 22:34:53	A320	A	61,4	64,4	75,6
10	15-11-2020 22:38:10	A20N	A	60,9	63,0	74,7
10	15-11-2020 23:11:49	E75L	A	62,6	66,4	76,6
10	16-11-2020 05:22:28	B752	A	62,6	66,5	78,6
10	16-11-2020 05:32:05	B752	A	63,9	68,7	80,2
10	16-11-2020 05:53:41	B734	A	64,0	68,5	79,6
10	16-11-2020 05:55:33	E190	A	63,8	67,6	80,2
10	16-11-2020 22:12:01	B752	D	63,6	68,2	80,7
10	16-11-2020 23:07:12	E170	D	59,3	61,4	71,8
10	17-11-2020 23:04:44	E170	D	61,3	64,2	77,0
10	18-11-2020 22:10:24	FA7X	A	59,1	62,1	71,2
10	18-11-2020 22:45:13	A319	A	63,2	67,7	77,2
10	18-11-2020 22:56:58	E75L	A	63,0	66,6	77,6
10	19-11-2020 04:56:18	B789	A	65,7	70,6	81,5
10	19-11-2020 05:09:09	ATP	A	66,3	71,6	81,7
10	19-11-2020 05:24:42	A306	A	65,3	71,3	82,0
10	19-11-2020 05:55:02	B763	A	67,6	73,4	82,5
10	19-11-2020 05:58:19	E190	A	63,1	68,9	78,6
10	19-11-2020 22:11:55	AN26	D	67,3	73,7	85,3

Nr punktu pomiarowego	Data i godz. zdarzenia	Samolot	Operacja*	L _{Aeq}	L _{Amax}	L _{AE}
				[dB]	[dB]	[dB]
10	19-11-2020 22:45:40	P180	D	61,4	69,2	78,4
10	20-11-2020 22:13:15	B738	D	63,7	67,0	80,0
10	20-11-2020 23:13:47	E170	D	60,4	63,1	75,1
10	20-11-2020 23:17:43	DH8D	D	58,3	59,5	68,3
10	20-11-2020 23:20:45	DH8D	D	58,5	60,1	69,7
10	20-11-2020 23:22:21	E75S	D	61,9	64,0	77,9
10	20-11-2020 23:34:13	E190	D	58,4	60,4	68,4
10	21-11-2020 22:22:24	B738	A	63,9	66,9	78,0
10	21-11-2020 22:43:20	A319	A	62,6	65,7	77,1
10	22-11-2020 22:22:39	P180	D	62,8	68,4	79,1
10	22-11-2020 23:14:23	DH8D	D	57,6	59,5	69,9
10	22-11-2020 23:16:42	E170	D	60,0	65,0	75,2
10	22-11-2020 23:18:40	E190	D	62,8	66,0	75,1
10	22-11-2020 23:24:08	DH8D	D	58,4	60,3	71,8
10	23-11-2020 22:31:45	B734	D	66,2	71,9	83,2
10	23-11-2020 23:12:43	DH8D	D	57,6	58,9	66,6
10	25-11-2020 22:38:11	E75S	A	62,6	65,4	76,0
10	25-11-2020 22:58:53	E75L	A	62,1	63,9	75,5
10	27-11-2020 22:04:56	A306	D	68,5	76,3	86,6
10	27-11-2020 22:07:59	B738	D	64,0	68,7	78,9
10	27-11-2020 23:05:07	E170	D	61,3	65,1	76,9
10	27-11-2020 23:13:51	DH8D	D	58,5	60,1	71,0
10	27-11-2020 23:16:47	DH8D	D	58,2	60,9	70,7
10	27-11-2020 23:18:43	E170	D	61,4	64,3	76,3
10	27-11-2020 23:20:35	DH8D	D	58,9	60,2	72,6
10	28-11-2020 22:56:30	B789	D	61,6	64,4	76,2
10	29-11-2020 23:03:25	DH8D	D	58,1	61,9	74,4
10	29-11-2020 23:15:07	E190	D	62,3	66,5	77,3
10	29-11-2020 23:34:49	E170	D	61,9	65,0	77,0
10	29-11-2020 23:54:08	DH8D	D	58,7	59,4	70,5
10	30-11-2020 22:38:09	A306	D	69,1	76,0	87,1
10	30-11-2020 23:14:22	DH8D	D	58,8	60,8	72,0
10	01-12-2020 05:49:44	B789	A	62,5	66,0	80,0
10	01-12-2020 05:53:28	B763	A	65,0	69,3	82,2
10	01-12-2020 05:56:03	E75S	A	62,4	64,9	77,0
10	01-12-2020 05:57:56	ATP	A	64,0	69,2	78,6

LEGENDA

- Samolot – typ statku powietrznego
- Operacja: A – lądowanie, D – start, P - przelot
- L_{Aeq} – równoważny poziom dźwięku dla zdarzenia akustycznego
- L_{Amax} – maksymalny poziom dźwięku dla zdarzenia akustycznego
- L_{AE} – ekspozycyjny poziom dźwięku dla zdarzenia akustycznego
- Kolorem niebieskim oznaczono zdarzenia akustyczne, które miały miejsce w czasie gdy nie były spełnione warunki meteorologiczne¹, a także wystąpiły zakłócenia od innych źródeł hałasu.

¹ Warunki meteorologiczne określone w punkcie D "Referencyjnej metodyki wykonywania ciągłych pomiarów poziomów hałasu wprowadzanego do środowiska przez starty, lądowania i przeloty statków powietrznych w związku z eksploatacją lotnisk oraz kryteria lokalizacji punktów pomiarowych" (Załącznik nr 1 do rozporządzenia Ministra Środowiska z dnia 16 czerwca 2011 r. w sprawie wymagań w zakresie prowadzenia pomiarów poziomów substancji lub energii w środowisku przez zarządzającego drogą, linią kolejową, linią tramwajową, lotniskiem lub portem).

WARUNKI METEOROLOGICZNE DLA LOTNISKA:

Ustalane na wysokości: 106,51 m n.p.m

Wielkości ustalone	Wartości maksymalne	Wartości minimalne	Wartości średnie miesięczne
	w danym miesiącu	w danym miesiącu	
Temperatura [°C]	16,0	-4,9	5,8
Wilgotność względna [%]	100	56	88
Ciśnienie atmosferyczne [hPa]	1022,0	1001,1	1011,4

Miesięczna róża wiatrów

